

รายการอ้างอิง

- [1] P.A. Ioannou and J. Sun, *Robust Adaptive Control*. Prentice Hall, 1996.
- [2] K.S. Tsakalis and P.A. Ioannou, *Linear Time Varying Systems: Control and Adaptation*. Prentice Hall, 1993.
- [3] C.J. Chien and L.C. Fu, "An adaptive variable structure control for fast time-varying unknown plants," *Proc. 32nd IEEE CDC*, pp. 1428-1433, 1993.
- [4] A.M. Annaswamy and K.S. Narendra, "Adaptive control of simple time-varying systems," *Proc. 28th IEEE CDC*, pp. 1014-1018, 1989.
- [5] K.D. Young, "Design of variable structure model-following control systems," *IEEE Trans. Automat. Contr.*, vol. AC-23, pp. 1079-1085, 1978.
- [6] V.I. Utkin, *Sliding Modes and Their Application in Variable Structure Systems*. Moscow : MIR Publishers , 1978.
- [7] R.A. Decarlo, S.H. Zak and G.P. Matthews, "Variable structure control of nonlinear multivariable systems: a tutorial," *Proc. of IEEE*, vol. 76, pp. 212-232, 1988.
- [8] Y.Y. Hsu and C.H. Cheng, "Variable structure and adaptive control of a synchronous generator," *IEEE Trans. Aerospace and Electronic Systems*, vol. 24, pp. 337-345, 1988.
- [9] D.S. Yoo and M.J. Chung, "A variable structure control with simple adaptation laws for upperbounds on norm of the uncertainties," *IEEE Trans. Automat. Contr.*, vol. 37, pp. 860-865, 1992.
- [10] W.J. Wang and Y.T. Fan, "Output feedback in variable structure systems with a simple adaptation law," *Proc. 32nd IEEE CDC*, pp. 422-423, 1993.
- [11] D. Recker, P. Kokotovic, D. Rhode and J. Winkelman, "Adaptive nonlinear control of systems constaining a dead-Zone," *Proc. 30th IEEE CDC*, pp. 2111-2115, 1991.
- [12] G. Tao and P. Kokotovic, "Adaptive control of plants with unknown dead-zones," *IEEE Trans. Automat. Contr.*, vol. 39, pp. 59-68, 1994.
- [13] J.E. Slotine and W. Li, *Applied Nonlinear Control*. Prentice-Hall , 1991.
- [14] M. Vidyasagar, *Nonlinear Systems Analysis*. Prentice-Hall, 1993.
- [15] D.G. Taylor, P.V. Kokotovic, R. Marino and I. Kanellakopoulos, "Adaptive regulation of nonlinear systems with unmodeled dynamics," *IEEE Trans. on Automat. Contr.*, vol.34, pp. 405 -412, 1989.

รายการอ้างอิง(ต่อ)

- [16] S.S. Sastry and A. Isidori , “Adaptive control of linearizable systems,” *IEEE Trans. on Automat. Contr.*, vol.34, No.11, pp. 1123-1131 , 1989.
- [17] Xianzhong Cui and Kang G. Shin, “Direct control and coordination using neural networks,” *IEEE Trans. on Systems, Man and Cybernetics*, vol.23, pp. 686-697, 1993.
- [18] L. Jin, P.N. Nikiforuk and M.M. Gupta, “Direct adaptive output tracking control using multilayer neural network,” *IEE* vol.140, pp. 393-398, 1993.
- [19] G. Tao and P.V. Kokotovic, “Adaptive control of plants with unknown hystereses,” *IEEE Trans. Automat. Contr.*, vol.40, pp. 200-212, 1995.
- [20] K.S. Narendra and A.M. Annaswamy, *Stable Adaptive Systems*. Englewood Cliffs, NJ:Prentice Hall, 1989.
- [21] G. Kreisselmeier and B.D.O. Anderson, “Robust model reference adaptive control,” *IEEE Trans. Automat. Contr.*, vol.31, pp. 127-133, 1986.
- [22] P.A. Ioannou and K. Tsakalis, “A robust direct adaptive controller” *IEEE Trans. Automat. Contr.*, vol.31, pp. 1033-1043, 1986.
- [23] G. Tao and P.V. Kokotovic, *Adaptive Control of Systems with Actuator and Sensor Nonlinearities*. John Wiley & Sons, Inc. 1996.
- [24] K. J. Astrom and B. Wittenmark, *Adaptive control*. Addison Wesley, Inc. 1995.
- [25] C.A. Sacher and G.F. Inbar, “Tracking of the muscle recruitment characteristic during adaptive control of the electrically stimulated knee,” *Proc. Ann. Int. Conf. IEEE Engineering in Medicine and Biology Soc.*, vol. 12, pp. 2315-2317, 1990.
- [26] K. Ogata, *Modern Control Engineering*. Prentice Hall, 1990.
- [27] G. Feng, “Robust direct adaptive control with least prior knowledge,” *IEEE Trans. on Circuits and Systems*, vol. 42, pp. 30-34, 1995.
- [28] G. Feng, “Robust direct adaptive controllers with a new normalization technique,” *IEEE Trans. Automat. Contr.*, vol. 39, pp. 2330-2334, 1994.
- [29] K. Nonaka, M. Yamakita and K. Furuta, “Model following control based on an adaptive sliding surface for a class of plants with unmatched parametric uncertainties,” *Proc. 35th IEEE CDC*, pp. 3510-3515, 1996.

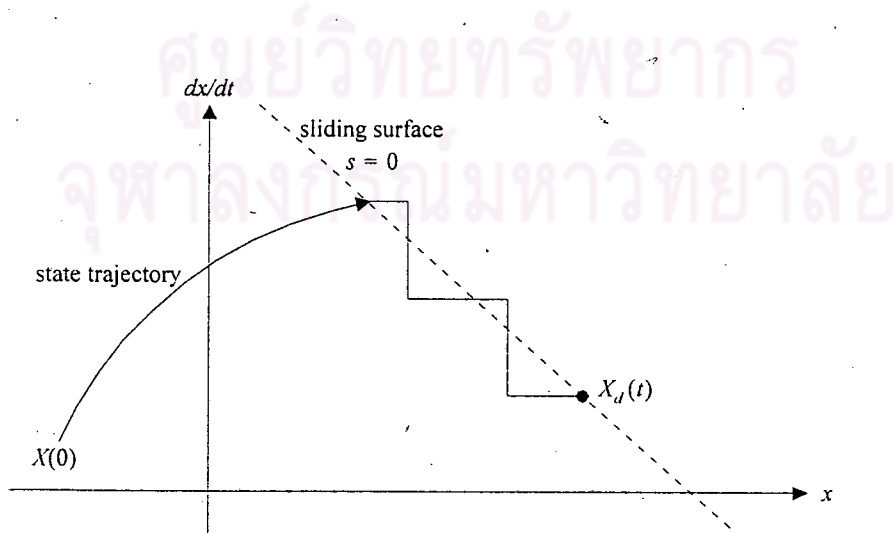
ภาคผนวก

ก. การควบคุมแบบโครงสร้างแปรผัน

การควบคุมแบบโครงสร้างแปรผัน คือการควบคุมชนิดหนึ่งที่อาศัยการป้อนกลับของสัญญาณ สวิตชิ้ง มีรากฐานมาจาก การควบคุมแบบแบงแบง (Bang-bang control) ตัวอย่าง เช่น ในสัญญาณ ควบคุมมีอัตราขยาย (Gain) ในส่วนป้อนกลับสลับไปมาระหว่างค่าสองค่าตามกฎที่กำหนดไว้ สัญญาณ ควบคุมที่ใช้จะมีประสิทธิภาพและความมั่นคงในการควบคุมระบบไม่เป็นเชิงเส้น

การควบคุมแบบโครงสร้างแปรผันใช้สัญญาณควบคุมสวิตชิ้งในการพาให้วิถีสถานะ (State trajectory) ของระบบสู่เข้าหาพื้นผิวที่เลือกไว้ในปริภูมิสถานะ (State space) นั้นและบังคับให้วิถีสถานะ คงอยู่บนพื้นผิวนี้ตลอดเวลา พื้นผิวนี้เรียกว่า พื้นผิวไถล (Sliding surface) หรือ พื้นผิวสวิตชิ้ง (Switching surface) คำว่าวิถีสถานะในที่นี้แทนฟังก์ชันของตัวแปรสถานะที่อยู่ในปริภูมินั้นๆ ซึ่ง ฟังก์ชันนี้อาจจะเป็นเชิงเส้นกับตัวแปรสถานะหรือไม่ก็ได้ขึ้นอยู่กับลักษณะเฉพาะของระบบ

การเรียกว่าพื้นผิวสวิตชิ้งก็ เพราะว่าในกรณีที่วิถีสถานะอยู่เหนือพื้นผิวสัญญาณควบคุมก็จะใช้อัตราขยายค่าหนึ่งและจะเปลี่ยนไปใช้อีกค่าถ้าวิถีสถานะค่ากว่าพื้นผิว ดังนั้นเมื่อวิถีสถานะสู่เข้าหา พื้นผิวสวิตชิ้งแล้วมันก็จะแก่วงไปมานบนพื้นผิวนั้น ถ้าสัญญาณควบคุมมีการสลับไปมาด้วยความเร็ว สูงมันก็จะแก่วงไปมาด้วยความถี่ที่สูง เช่น กันแต่การแก่วงนั้นจะใกล้กับพื้นผิวได้มากกว่าสัญญาณควบคุมที่มีความเร็วของการสวิตช์ต่ำกว่า ในทางอุตสาหกรรมความเร็วในการสวิตช์จะสูงมากจนวิถีสถานะทับ พื้นผิวสวิตชิ้งได้พอดี



รูปที่ ก.1 แสดงสถานะเริ่มต้นที่ถูกพาให้เข้าสู่พื้นผิวสวิตชิ้งด้วยสัญญาณควบคุมที่สวิตช์ด้วยความเร็วต่ำ

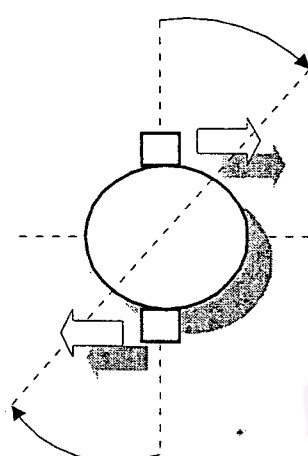
การออกแบบพื้นผิวสวิচซึ่งจะขึ้นอยู่กับพารามิเตอร์ของระบบและพื้นผิวที่ถูกต้องจะสามารถทำให้การควบคุมบรรลุจุดประสงค์ได้ เช่น การทำให้ระบบวงปีกมีเส้นปรกติ หรือ การตามสัญญาณเป็นต้น

จุดประสงค์ของบทนี้เพื่อให้เกิดความเข้าใจถึงแนวคิดเบื้องต้นเกี่ยวกับการควบคุมแบบโครงสร้างแปรผันโดยได้แสดงตัวอย่างต่างๆในการออกแบบไว้เพื่อให้ง่ายแก่การเข้าใจ รายละเอียดทางทฤษฎีนั้นสามารถหาอ่านได้จากเอกสารอ้างอิง [5, 6, 7, 8, 9, 13]

ก.1 แนวคิดพื้นฐาน

ตัวอย่างต่อไปนี้จะแสดงถึงการเปลี่ยนแปลงโครงสร้างของตัวควบคุมตามกฎที่ตั้งไว้เพื่อให้ผลตอบสนองของระบบเป็นไปตามที่ต้องการ

ตัวอย่างที่ ก.1 ลองพิจารณาระบบสัญญาณเข้าเดียวที่วัดตัวแปรสถานะ x_1, x_2 ได้ ระบบนี้เป็นแบบจำลอง 1 มิติของความเที่ยมในปริภูมิอิสระดังรูปที่ ก.2

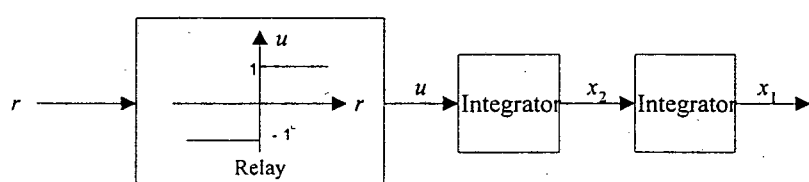


กำหนดให้ระบบอธิบายได้ด้วยสมการต่อไปนี้

$$\begin{bmatrix} \dot{x}_1 \\ \dot{x}_2 \end{bmatrix} = \begin{bmatrix} 0 & 1 \\ 0 & 0 \end{bmatrix} \begin{bmatrix} x_1 \\ x_2 \end{bmatrix} + \begin{bmatrix} 0 \\ 1 \end{bmatrix} u, \quad |u| \leq 1 \quad (\text{ก.1.1})$$

แผนภูมิกล่องที่ใช้แทน เป็นไปตามรูปที่ ก.3

รูปที่ ก.2 การควบคุมความเที่ยมโดยใช้การเปิด-ปิดทรัสเตอร์ (Thrusters)



รูปที่ ก.3 ระบบอันดับสองที่บรรยายได้ด้วยสมการ (ก.1.1)

สัญญาณควบคุมที่ใช้คือ

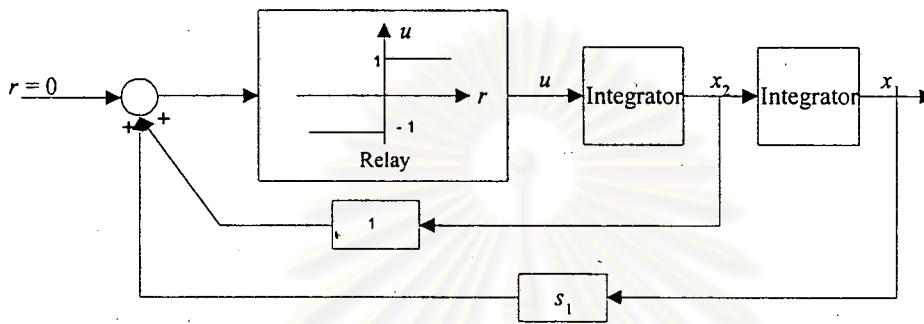
$$u = \operatorname{sgn}[s(x_1, x_2)] \quad (\text{ก.1.2})$$

โดย

$$\text{sgn}(s) = \begin{cases} 1, & s \geq 0 \\ -1, & s < 0 \end{cases} \quad \text{และ } s(x_1, x_2) = g_1 x_1 + x_2 = 0 \quad \text{เรียกว่า พื้นผิวสวิตชิ่ง} \quad \text{ดังนั้นวิธีสถานะ}$$

$$\text{คือ } g_1 x_1 + x_2$$

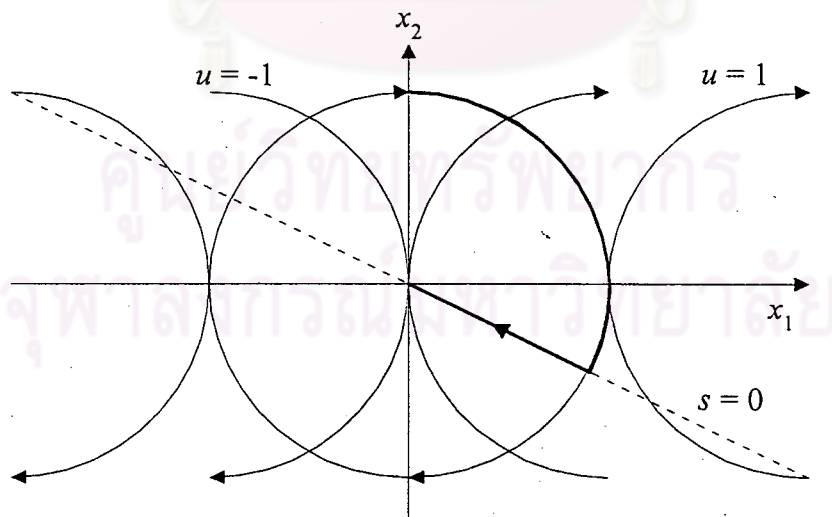
แผนภูมิกล่องของระบบวงปิดแสดงไว้ในรูปที่ ก.4



รูปที่ ก.4 ระบบวงปิดสำหรับ (ก.1.1) ที่ใช้สัญญาณควบคุม (ก.1.2)

สมมุติว่าส่วนที่เป็นรีเลย์ในรูปที่ ก.4 มีการสวิตช์ได้อย่างสมบูรณ์คือ การประวิงเวลาในการสวิตช์น้อยมาก เราลองมาศึกษาพฤติกรรมของระบบสำหรับค่า g_1 ต่างๆ หรืออีกนัยหนึ่งคือ สำหรับพื้นผิวสวิตชิ่งที่แตกต่างกัน ระบบในรูปที่ ก.4 ที่ได้จากการแก้ไขในรูปที่ ก.1.1 ที่มีสัญญาณควบคุม (ก.1.2) และรูปที่ ก.5 และ ก.6 ในรูปทั้งสองลูกศรซึ่งขึ้นมาขึ้นมา ให้ $u = 1$ และชี้ลงให้ $u = -1$

$$u = -1$$

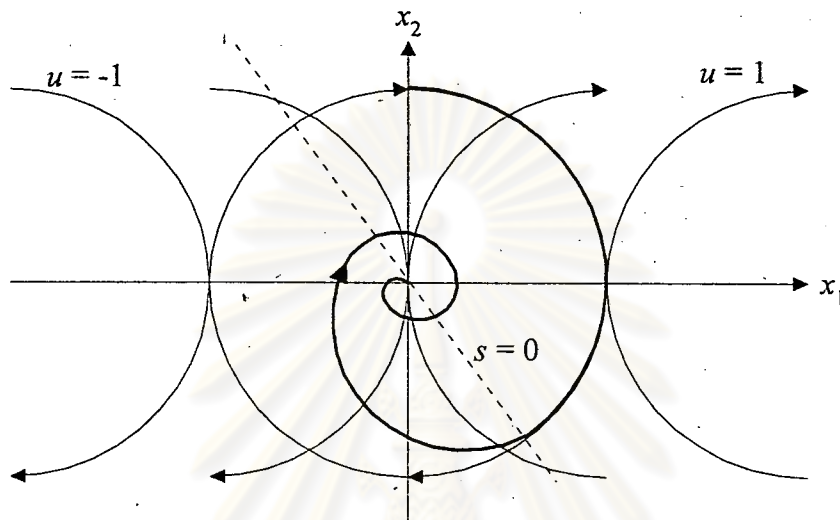


รูปที่ ก.5 ระบบในรูปที่ ก.4 เมื่อ $g_1 > 0$ มีค่าน้อย

จากรูปที่ ก.5 จะเห็นว่าวิธีสถานะจะถูกลากเข้าหาพื้นผิวสวิตชิ่ง $s(t) = 0$ จากนั้นจะวิ่งต่อไปข้างจุดศูนย์ คุณลักษณะที่สำคัญเมื่อระบบเข้าสู่พื้นผิว $s(t) = 0$ แล้วคือพฤติกรรมของระบบจะขึ้นอยู่กับความ

ชัน g_1 เท่านั้นหมายความว่าระบบบังปิดจะไม่ໄວต่อการแปรเปลี่ยนหรือการขับพารามิเตอร์ของระบบที่อยู่ในแวดลักษณะของเมทริกซ์ A หรือในจินตภาพ (Image) ของเมทริกซ์ $B = [0 \quad 1]^T$ ใน (ก.1.1)

ในรูปที่ ก.6 ระนาบเฟสจะมีความซับซ้อนขึ้นเพราะว่าวิถีสถานะมีลักษณะเป็นเกลียวแต่มันก็ถูกเข้าสู่สุนทรีย์ได้เช่นเดียวกัน



รูปที่ ก.6 ระนาบเฟสของระบบบังปิด (ก.1.1) และ (ก.1.2) เมื่อ $g_1 > 0$ มีค่ามาก

สิ่งหนึ่งที่สังเกตได้ในรูปที่ ก.5 และ ก.6 คือการเลือกพื้นผิวสวิตชิ่งที่แตกต่างกันผลตอบสนองที่ได้ก็จะแตกต่างกันด้วย หลังจากที่วิถีสถานะได้ตัดกับพื้นผิวในครั้งแรกมันจะยังคงอยู่บนพื้นผิวนี้ตลอดเวลา คุณสมบัติในการคงอยู่บนพื้นผิวสวิตชิ่งหลังจากการตัดกันในครั้งแรกถูกเรียกว่า แบบไถล (Sliding mode)

แบบไถลจะมีอยู่สำหรับระบบหนึ่งๆ ได้ถ้าในบริเวณใกล้ๆ พื้นผิวสวิตชิ่ง มีทิศทางอนุพันธ์เทียบกับเวลาของเวกเตอร์สถานะซึ่งไปยังพื้นผิวนั้น

ในการออกแบบตัวควบคุมแบบโครงสร้างแปรผันแบบไถลเป็น 2 ระยะหลักๆ คือ

1. การสร้างพื้นผิวสวิตชิ่งโดยถ้าเป็นพื้นผิวที่ถูกต้องเมื่อวิถีสถานะถูกจำกัดให้อยู่บนพื้นผิวแล้วการควบคุมจะต้องบรรลุจุดประสงค์ด้วย
2. การสร้างสัญญาณควบคุมสวิตชิ่ง (การหาอัตราขยายป้อนกลับเหมาะสมซึ่งเป็นอัตราขยายที่ต้องถูกสวิตช์ไปมา) ที่เป็นไปตามเงื่อนไขเพียงพอ (Sufficient conditions) สำหรับการมีอยู่และเข้าถึงได้ (Reachability) ของแบบไถล

ก.2 ขั้นตอนการออกแบบ

สมนูติว่าระบบที่พิจารณาแทนได้ด้วยแบบจำลองซึ่งไม่เป็นเชิงเส้นกับตัวแปรสถานะ x แต่เป็นเชิงเส้นกับสัญญาณควบคุม u

$$\dot{x}(t) = f(t, x) + B(t, x)u(t) \quad (\text{ก.2.1})$$

โดย ตัวแปรสถานะ $x(t) \in \mathbb{R}^n$ สัญญาณควบคุม $u(t) \in \mathbb{R}^m$ $f(t, x) \in \mathbb{R}^n$ และ $B(t, x) \in \mathbb{R}^{n \times m}$

$f(t, x)$ และ $B(t, x)$ ยังถูกสมมุติอีกว่าอนุพันธ์เทียบกับ x มีขอบเขต

สัญญาณควบคุมที่ถูกสวิตช์ $u(t) \in \mathbb{R}^m$ อยู่ในรูปแบบดังนี้

$$u_i(t) = \begin{cases} u_i^+ & \text{เมื่อ } s_i(x) \geq 0 \\ u_i^- & \text{เมื่อ } s_i(x) < 0 \end{cases} \quad i = 1, 2, \dots, m \quad (\text{ก.2.2})$$

โดย $s(x) = [s_1(x), \dots, s_m(x)]^T = 0$ ใน $[3, 10]$ เป็นตัวอย่างการใช้สัญญาณควบคุมลักษณะนี้

แม้ว่าพื้นผิวสวิตชิ่ง $s(x)$ สามารถเลือกเป็นแบบไม่เชิงเส้นได้แต่การวิเคราะห์และออกแบบจะมีความซับซ้อนกว่า ดังนั้นเพื่อความสะดวกพื้นผิวสวิตชิ่งที่สนใจจะเป็นเชิงเส้นกับตัวแปรสถานะดังนี้

$$s(x) = Gx(t) = 0 \quad (\text{ก.2.3})$$

โดย G แทนเมตริกซ์ขนาด $m \times n$ แบบไอลจิกซ์มีอยู่ได้ อย่างน้อยที่สุดวิถีสถานะจะต้องมีเส้นยิ่งภาพในบริเวณใกล้ๆ กับพื้นผิวสวิตชิ่งและจะถูกเข้าหาพื้นผิวในที่สุด บริเวณที่กว้างที่สุดนี้ถูกเรียกว่า บริเวณดึงดูด (Region of attraction)

ปัญหาการมีอยู่ของแบบไอลจิกซ์ของเป็นปัญหาทางค้านเสถียรภาพได้ ดังนั้นเราอาจใช้วิธีที่สองของเลิญปุนอฟ โดยเลือกฟังก์ชันเลิญปุนอฟ $V(t, x)$ ซึ่งเป็นบวกแน่นอนและมีอนุพันธ์ของมันเทียบกับเวลาเป็นลบในบริเวณดึงดูด

แบบไอลจิกซ์ได้แบบทั่วถึง (Globally reachable) ถ้าบริเวณดึงดูดนี้เป็นปริภูมิสถานะ แต่บริเวณดึงดูดอาจเป็นเพียงสับเซทหนึ่งของปริภูมิสถานะก็ได้

การเลือกฟังก์ชันเลิญปุนอฟมีผลต่อความยากง่ายในการวิเคราะห์เสถียรภาพ สำหรับระบบสัญญาณเข้าเดียวฟังก์ชันเลิญปุนอฟที่เหมาะสมได้แก่ $V(t, x) = 0.5s^2(x)$ ซึ่งจะขึ้นกับสัญญาณควบคุม โดยอัตราขยายป้อนกลับที่สวิตช์ไปมาจะต้องถูกเลือกให้

$$0.5 \frac{ds^2}{dt} = s \frac{ds}{dt} < 0 \quad (\text{ก.2.4})$$

ในบริเวณพื้นผิวดึงดูด เพื่อให้วิถีสถานะถูกเข้าหาพื้นผิวและถูกจำกัดให้อยู่บนพื้นผิวตลอดเวลา ตัวอย่างที่ ก.2 เพื่อแสดงขั้นตอนในการออกแบบตัวควบคุมแบบโครงสร้างแปรผัน พิจารณา ระบบเพนดูลัมเดี่ยว (Single pendulum) ซึ่งมีแบบจำลองสถานะ $\dot{x} = A(x)x(t) + Bu(t)$ ไม่เป็นเชิงเส้น โดยที่ $x = [x_1 \ x_2]^T$

$$A(x) = \begin{bmatrix} 1 & 0 \\ -\frac{\sin(x_1)}{x_1} & 0 \end{bmatrix} \quad B = \begin{bmatrix} 0 \\ 1 \end{bmatrix}$$

ใช้สัญญาณควบคุม $u(t) = k_1(x)x_1 + k_2(x)x_2$ โดย

$k_i(x) = \begin{cases} \alpha_i(x), & s(x)x_i \geq 0 \\ \beta_i(x), & s(x)x_i < 0 \end{cases}$ และ $s(x) = [g_1 \ g_2]x$ ส่วนป้อนกลับ $\alpha_i(x), \beta_i(x)$ จะถูกเลือกเพื่อให้ $s(x)\dot{s}(x) < 0$

$$s(x)\dot{s}(x) = s(x)x_1 \left[g_2 \left(k_1(x) - \frac{\sin(x_1)}{x_1} \right) \right] + s(x)x_2 [g_1 + g_2 k_2(x)] < 0$$

ถ้า

$$\alpha_1(x) = \alpha_1 < \min_{x_1} \left[\frac{\sin(x_1)}{x_1} \right] = -1 \quad \text{และ} \quad \beta_1(x) = \beta_1 > \max_{x_1} \left[\frac{\sin(x_1)}{x_1} \right] = 1$$

และ $\alpha_2 < -(s_1/s_2)$, $\beta_2 > -(s_1/s_2)$ เราจึงคำนวณอัตราขยายป้อนกลับได้จากความสัมพันธ์เหล่านี้ในกรณีของระบบที่มีหลายสัญญาณเข้าการพิสูจน์โดยการใช้ฟังก์ชันเลียบสูตรอนุพันธ์ทำได้ยากยกเว้นเพียงบางกรณีที่ระบบมีลักษณะพิเศษ [6]

ดังที่กล่าวไว้แล้วว่าการวิเคราะห์ระบบวงปิดคือการเลือกฟังก์ชันเลียบสูตรอนุพันธ์ซึ่งต้องมีอยู่กับการเลือกฟังก์ชันพื้นผิวสวิตชิ่ง และกฎควบคุม (Control law) ที่เหมาะสม สำหรับบางตัวเลือกเราอาจไม่สามารถวิเคราะห์เสถียรภาพของระบบได้โดยยกตัวอย่างเช่น ระบบหลายสัญญาณเข้าต่อไปนี้

$$\dot{x}(t) = Ax(t) + Bu(t) \quad (\text{ก.2.5})$$

โดย

$$A = \begin{bmatrix} 0 & 1 & 0 \\ 0 & 0 & 1 \\ -1 & -2 & -3 \end{bmatrix} \quad B = \begin{bmatrix} 0 & 0 \\ 0 & 1 \\ 1 & 0 \end{bmatrix}$$

และเลือกพื้นผิวสวิตชิ่ง

$$s(x) = Gx = \begin{bmatrix} 1 & 2 & -1 \\ 2 & -1 & 1 \end{bmatrix} \begin{bmatrix} x_1 \\ x_2 \\ x_3 \end{bmatrix} = \begin{bmatrix} 0 \\ 0 \end{bmatrix}$$

และกฎควบคุม $u(t) = \psi x(t)$ โดย $\psi = [\psi_{ij}]$ และ

$$\psi_{ij} = \begin{cases} \psi_{ij}^+, & x_j s_i > 0 \\ \psi_{ij}^-, & x_j s_i < 0 \end{cases} \quad \text{สำหรับ } i = 1, 2 \text{ และ } j = 1, 2, 3. \quad (\text{ก.2.6})$$

โดยกำหนดให้ฟังก์ชันเลียบสูตรอนุพันธ์

$$V(t, x, s) = s^T s \quad (\text{ก.2.7})$$

ด้วยตัวเลือกทั้งหมดนี้เรามีความสามารถหา ψ ที่ทำให้ $\dot{V} = s^T \dot{s} < 0$ ได้ ดังนั้นเราอาจเลือกฟังก์ชันเลียบสูตรอนุพันธ์ที่ต่างไปจาก (ก.2.6) เพื่อให้ปัญหาง่ายขึ้น ในที่นี่เราจะใช้ฟังก์ชันเลียบสูตรอนุพันธ์ (ก.2.7) เคิมแต่เปลี่ยนกฎควบคุมใหม่เป็น

$$u(x) = -(GB)^{-1} G A x - (GB)^{-1} \frac{s}{\|s\|^2}$$

กฎควบคุมนี้สามารถนั่งกับให้ $\dot{V} = s^T \dot{s} = -1 < 0$ ดังนั้นจึงประกันได้ว่ามีแบบไถลหนึ่งอยู่บนพื้นผิวไถล $s(x) = Gx$ และสามารถเข้าถึงได้สำหรับทุกๆ $x \in \mathbb{R}^3$

เราอาจจะเลือกพื้นผิวสวิตชิ่งใหม่แต่ยังคงใช้ฟังก์ชันเลียบสูตรอนุพันธ์ (ก.2.7) และกฎควบคุม (ก.2.6) เคิมก็ได้ เช่นถ้าเลือก

$$G = \begin{bmatrix} 1 & 2\varepsilon & -1 \\ 2 & -1 & \varepsilon \end{bmatrix} \quad \text{โดยที่ } \varepsilon \text{ เป็นค่าคงที่บวกเล็กๆ}$$

เราจึงสามารถหาค่า ψ_{ij}^+, ψ_{ij}^- ที่เหมาะสมได้

การออกแบบตัวควบคุม

ยังมีวิธีอื่นๆ ในการออกแบบตัวควบคุมซึ่งช่วยให้ปัญหาง่ายขึ้น ได้แก่

1. **วิธีทำให้แยกแยะมุม (Diagonalization Methods)** เป็นวิธีการเปลี่ยนปัจจัยของการออกแบบสำหรับระบบ m สัญญาณเข้าให้กลายเป็นปัญหาสำหรับระบบสัญญาณเข้าเดียว m ปัญหา
2. **วิธีการลำดับชั้นของการควบคุม (Hierarchy of Controls Method)** เป็นวิธีที่อาศัยลำดับชั้นของการควบคุมในการออกแบบตัวควบคุม ตัวอย่างการจัดลำดับชั้นในการควบคุม เช่น ในตอนแรก สัญญาณควบคุม u_1 จะพาระบบทางสภาวะเริ่มต้นไปยังพื้นผิว $s_1 = 0$ สัญญาณควบคุม u_2 จะพาระบบที่ติดกันระหว่าง $s_1 = 0$ และ $s_2 = 0$ ขณะที่ u_1 ยังคงรักษาแบบไถล $s_1 = 0$ เอาไว้ ทำเช่นนี้เรื่อยๆ ไปจนกระทั่งสัญญาณควบคุมสุดท้าย u_m พาระบบที่สูงแบบไถลที่เกิดจากการตัดกันของพื้นผิวสวิตชิ่งทั้งหมด (m พื้นผิว) ดังนั้นท้ายที่สุดแล้ว $s_1 = s_2 = \dots = s_m = 0$ เช่น ในระบบ 4 สัญญาณออก 3 สัญญาณเข้าที่ต้องการให้ระบบตามแบบจำลองอ้างอิง ถ้าเราเลือก $s_1 = 10e_1 + e_2, s_2 = e_3, s_3 = e_4$ โดย e_i แทนความคลาดเคลื่อนในการตามของสัญญาณออกที่ i ในสภาวะสุดท้ายเมื่อ $s_1 = s_2 = s_3 = 0$ จะต้องรับประทานให้ได้ว่า $e_1 = e_2 = e_3 = e_4 = 0$ ตัวอย่างการนำไปประยุกต์ใช้ได้แก่ [5, 8]
3. **วิธีการอื่นๆ (Other Approaches)** ในความเป็นจริงแล้วโครงสร้างของตัวควบคุมที่ต่างไปจาก (ก.2.6) มีได้มากนานับไม่ถ้วน แต่ส่วนใหญ่แล้วจะอยู่ในลักษณะ

$$u_i = u_{ieq} + u_{iN}$$

โดย u_{ieq} เป็นองค์ประกอบที่ i ของส่วนควบคุมเทียบเท่า (Equivalent control) (สัญญาณต่อเนื่อง) และ u_{iN} เป็นส่วนสวิตชิ่ง (สัญญาณไม่ต่อเนื่อง) ซึ่งเป็นส่วนที่มีลักษณะแตกต่างกันไป ใน [9] ถือได้ว่าเป็นตัวอย่างหนึ่งของวิธีนี้

การออกแบบพื้นผิวสวิตชิ่ง

ส่วนสำคัญสุดท้ายที่ต้องพิจารณาคือพื้นผิวสวิตชิ่ง วิธีการหนึ่งที่ขังคงใช้กันคือ วิธีของการควบคุมเทียบเท่า (Method of equivalent control) [6] ความหมายของมันคือเราจะพิจารณาระบบทั้งหมดที่วิถีสถานะตัดกับพื้นผิวสวิตชิ่ง $s = 0$ ที่เวลา t_0 ดังนั้นแบบไถลจะเกิดขึ้นเมื่อ $t \geq t_0$ การมีอยู่ของแบบไถลหมายความว่า $r(x(t)) = 0$ และ $s(x(t)) = 0$ สำหรับทุกๆ $t \geq t_0$ จากกฎลูกโซ่

$$\left[\frac{\partial s}{\partial x} \right] \dot{x} = \left[\frac{\partial s}{\partial x} \right] \left[f(t, x) + B(t, x)u_{eq} \right] = 0$$

โดย u_{eq} ซึ่งถูกเรียกว่า ส่วนควบคุมเทียนเท่า ที่ได้มาจากการแก้สมการนี้ หลังจากแทน u_{eq} ลงในระบบเริ่มต้น (ก.2.1) พฤติกรรมของระบบจะถูกจำกัดอยู่บนพื้นผิวสวิตชิ้ง โดยมีสภาวะเริ่มต้นเป็นไปตามเงื่อนไข $s(x(t_0)) = 0$

$$\text{สมมุติว่าผลคูณเมทริกซ์} \left[\frac{\partial s}{\partial x} \right] B(t, x) \text{ ไม่เอกฐาน (Nonsingular) สำหรับทุกๆ } t \text{ และ } x \text{ ดังนั้น} \\ u_{eq} = - \left[\left[\frac{\partial s}{\partial x} \right] B(t, x) \right]^{-1} \frac{\partial s}{\partial x} f(t, x) \quad (\text{ก.2.8})$$

เมื่อแทน u_{eq} ลงในระบบเริ่มต้น (ก.2.1) จะได้ว่า

$$\dot{x} = \left[I - B(t, x) \left[\frac{\partial s}{\partial x} B(t, x) \right]^{-1} \frac{\partial s}{\partial x} \right] f(t, x) \quad (\text{ก.2.9})$$

ดังนั้นความเป็นไปของระบบบนพื้นผิวสวิตชิ้งสำหรับ $t \geq t_0$ บรรยายได้ด้วยสมการ (ก.2.9) และในกรณีที่พื้นผิวสวิตชิ้งเป็นเชิงเส้นกับสถานะ $s(x) = Gx$ สมการ (ก.2.9) จะลดลงเหลือ

$$\dot{x} = \left[I - B(t, x) [GB(t, x)]^{-1} G \right] f(t, x) \quad (\text{ก.2.10})$$

จาก (ก.2.9) ต้องพิจารณาความคู่ไปกับข้อบังคับ $s(x(t)) = 0$ ทำให้สมการที่พิจารณา มีอันดับ (Order) ลดลง สำหรับพื้นผิวสวิตชิ้งเป็นเชิงเส้นถ้าเราสมมุติให้ x_d เป็นสถานะที่ต้องการตาม ดังนั้นวัตถุประสงค์ของการควบคุมแบบโครงสร้างผันแปร คือ การหาโครงสร้างของตัวควบคุมพร้อมทั้งพารามิเตอร์ของมันและเลือก G ที่จะสามารถรับประทานได้ว่า $\lim_{t \rightarrow \infty} e(t) = 0$ โดย $e(t) = x(t) - x_d(t)$ ซึ่งสามารถพิจารณาได้จาก (ก.2.10)

สำหรับบางระบบต้องการพื้นผิวสวิตชิ้งเปร่ำตามเวลา $s(t, x) = 0$ ในกรณีนี้

$$\dot{s}(t, x) = \left(\frac{\partial s}{\partial t} \right) + \left(\frac{\partial s}{\partial x} \right) \dot{x}$$

เหมือนกับการควบคุมด้วยวิธีอื่นๆ ที่จะต้องคำนึงถึงการใช้งานในทางปฏิบัติ สิ่งสำคัญที่ควรพิจารณา สำหรับการควบคุมแบบโครงสร้างແປรัพัน ได้แก่ ความไม่แน่นอนของระบบและแซตเตอร์ริง (Chattering) สำหรับระบบที่มีความไม่แน่นอนส่วนใหญ่จะอาศัยการผสมผสานระหว่างพื้นฐานที่ได้ก่อล่าวน้ำแล้ว (การใช้ u_{eq}) กับวิธีที่สองของเลี่ยปูนอฟ โดยจะต้องรู้พารามิเตอร์เบื้องต้นและขนาดความไม่แน่นอนของพารามิเตอร์นั้นๆ ด้วย การสวิตช์ของสัญญาณควบคุมแม้จะเร็วเท่าไรก็ไม่สามารถเป็นไปตามอุดมคติได้ซึ่งเป็นที่มาของปัญหาแซตเตอร์ริง ดังนั้นสัญญาณควบคุมจะมีความถี่สูงมากจนไปกระตุ้นระบบทำให้เกิดพฤติกรรมบางอย่างที่ต่างไปจากแบบจำลองของระบบที่พิจารณาในตอนแรกซึ่งอาจทำให้ระบบขาดเสถียรภาพหรือแม้กระทั่งคงมีเสถียรภาพอยู่แต่จะเกิดสัญญาณรบกวน (Noise) ที่เป็นผลมาจากการสวิตช์ของอุปกรณ์ต่างๆ ออกจากไประบบ控制系统ที่พิจารณาในตอนแรกซึ่งอาจทำให้ระบบขาดเสถียรภาพหรือแม้กระทั่งคงมีเสถียรภาพอยู่แต่จะเกิดสัญญาณรบกวน (Noise) ที่เป็นผลมาจากการแทนส่วนสวิตชิ้งที่มีลักษณะเป็นรีเลย์ให้เป็นการอิมตัวแทน ถ้าบริเวณเชิงเส้นของการอิมตัวแทนขนาดของความคลาดเคลื่อนก็จะเล็กตามไปด้วยแต่ความถี่ของสัญญาณควบคุมจะสูงกว่ากรณีที่บริเวณเชิงเส้นกว้าง

ข. เสถียรภาพ

การศึกษาเรื่องเสถียรภาพก็เพื่อให้เกิดความเข้าใจถึงลักษณะพฤติกรรมของระบบพลวัต เสถียรภาพมีความสำคัญมากในทางทฤษฎีระบบ (System theory) และทางวิศวกรรมระบบควบคุม แนวคิดพื้นฐานที่สุดในการวิเคราะห์เสถียรภาพถูกเสนอโดยนักคณิตศาสตร์และวิศวกรชาวรัสเซียชื่อ Alexander Lyapunov (ค.ศ. 1892) งานของ Lyapunov ได้ถูกขยายและนำมาใช้อย่างกว้างขวางในทางวิศวกรรมระบบควบคุมและทางคณิตศาสตร์ประยุกต์ โดย LaSalle และ Lefschetz (ค.ศ. 1960, 1961, 1963), Krasovskii (ค.ศ. 1963), Hahn (ค.ศ. 1963), Massera (ค.ศ. 1956), Malkin (ค.ศ. 1958), Kalman และ Bertram (ค.ศ. 1960) และอื่นๆ อีกมาก many ในบทนี้จะกล่าวถึงเพียงบางส่วนของเสถียรภาพเลียปูโนฟ (Lyapunov Stability) และทฤษฎีต่างๆ ที่เกี่ยวข้องเฉพาะที่จะนำไปใช้ในวิทยานิพนธ์เท่านั้น ทฤษฎีที่กล่าวถึงไม่ได้แสดงการพิสูจน์ไว้ในที่นี้สำหรับผู้ที่สนใจสามารถหาอ่านได้จากหนังสือเกี่ยวกับการควบคุมแบบปรับตัวเองทั่วๆ ไป

ข.1 พื้นฐานเบื้องต้น

ข.1.1 ค่าประจำและปริภูมิ L_p (Norm and L_p Spaces)

เรานิยามคุณสมบัติของค่าประจำ (Norm) ไว้ดังนี้

นิยามที่ ข.1.1 ค่าประจำ $|x|$ ของเวกเตอร์ x คือ พงก์ชันค่าจริงที่มีคุณสมบัติดังนี้

1. $|x| \geq 0$ และ $|x| = 0$ ถ้าและเพียงแต่ $x = 0$
2. $|\alpha x| = |\alpha| |x|$ สำหรับค่าสเกลาร์ α ใดๆ
3. $|x + y| \leq |x| + |y|$ อสมการสามเหลี่ยม (triangle inequality)

ค่าประจำ $|x|$ ของเวกเตอร์ x อาจคิดได้ว่าเป็นขนาดหรือความยาวของเวกเตอร์ x ในทำนองเดียวกัน $|x - y|$ อาจคิดได้ว่าเป็นระยะห่างระหว่าง x และ y

สำหรับพงก์ชันของเวลาเรานิยามค่าประจำ L_p (L_p norm) ได้ดังนี้

$$\|x\|_p = \left(\int_0^\infty |x(\tau)|^p d\tau \right)^{1/p}$$

โดยที่ $p \in [1, \infty)$ และกล่าวว่า $x \in L_p$ เมื่อ $\|x\|_p$ มีค่าจำกัด

ในทำนองเดียวกันค่าประจำ L_∞ (L_∞ norm) นิยามได้ดังนี้

$$\|x\|_\infty = \sup_{t \geq 0} |x(t)|$$

และเรียกว่า $x \in L_\infty$ เมื่อ $\|x\|_\infty$ มีค่าจำกัด

นิยามของค่าประจำ L_p , L_∞ ที่กล่าวมาแล้วนั้น $x(t)$ เป็นໄได้ทั้งฟังก์ชันสเกลาร์หรือเวกเตอร์ ถ้า x เป็นฟังก์ชันสเกลาร์แล้ว $| \cdot |$ แทนค่าสมบูรณ์ ถ้า x เป็นฟังก์ชันเวกเตอร์ใน \mathbb{R}^n แล้ว $| \cdot |$ แทนค่าประจำใน \mathbb{R}^n

ถ้า x มีลักษณะเป็นลำดับ (sequence) เราเรานิยามค่าประจำ L_p ได้ดังนี้

$$\|x\|_p = \left(\sum_{i=1}^{\infty} |x_i|^p \right)^{1/p}, \quad 1 \leq p < \infty$$

และค่าประจำ L_∞ ได้ดังนี้

$$\|x\|_\infty = \sup_{i \geq 1} |x_i|$$

โดยที่ $x = (x_1, x_2, x_3, \dots)$ และ $x_i \in \mathbb{R}$

ฟังก์ชันบางอย่างที่สนใจอาจไม่อยู่ใน L_p เพื่อให้เราสามารถหาค่าประจำของฟังก์ชันเหล่านั้นได้ เราจะนิยามค่าประจำ L_{pe} ได้ดังนี้

$$\|x_t\|_p = \left(\int_0^t |x(\tau)|^p d\tau \right)^{1/p}$$

สำหรับ $p \in [1, \infty)$ และกล่าวว่า $x \in L_{pe}$ เมื่อ $\|x_t\|_p$ มีค่าจำกัดสำหรับค่าจำกัด t ได้ฯ
และค่าประจำ L_∞ นิยามได้ดังนี้

$$\|x_t\|_\infty = \sup_{0 \leq \tau \leq t} |x(\tau)|$$

ถ้าอย่างเช่น ฟังก์ชัน t^2 ไม่ได้อยู่ใน L_p แต่ $t^2 \in L_{pe}$ นั่นคือฟังก์ชันเวลาที่อยู่ใน L_{pe} แต่อาจไม่อยู่ใน L_p ก็ได้

สำหรับแต่ละ $p \in [1, \infty)$ เซตของฟังก์ชันจากปริภูมิเวกเตอร์เชิงเส้นหนึ่งที่อยู่ใน L_p (L_{pe})
เรียกว่า ปริภูมิ L_p (ปริภูมิ L_{pe})

ถ้าเรานิยามฟังก์ชันรอยตัด (Truncated function) f_t ดังนี้

$$f_t(\tau) = \begin{cases} f(\tau), & 0 \leq \tau \leq t \\ 0, & \tau > t \end{cases}$$

สำหรับทุกๆ $t \in [0, \infty)$ แล้วจะเห็นได้ว่าสำหรับ $p \in [1, \infty)$ การที่ $f \in L_{pe}$ และ $f_t \in L_p$ สำหรับค่าจำกัด t ได้ฯ ดังนั้นปริภูมิ L_{pe} อาจถูกเรียกว่าเป็นส่วนขยายของปริภูมิ L_p และถูกนิยามในลักษณะเซตของทุกๆ ฟังก์ชัน f ซึ่ง $f_t \in L_p$

จะเห็นได้ว่าค่าประจำ L_p และ L_{pe} มีคุณสมบัติของค่าประจำในนิยามที่ ข.1.1 โดยสมาชิกของ L_p และ L_{pe} เป็นชั้นเทียบเท่า (Equivalent classes) หรือ อีกนัยหนึ่ง คือ ถ้า $f, g \in L_p$ และ $\|f - g\|_p = 0$ ฟังก์ชัน f และ g จะถูกพิจารณาให้เป็นสมาชิกเดียวกันใน L_p แม้ว่า $f(t) \neq g(t)$ สำหรับบางค่าของ t บทต่อไปนี้จะแสดงคุณสมบัติของปริภูมิ L_p และ L_{pe}

บทต่อที่ ช.1.1 (Hölder's inequality) ถ้า $p, q \in [1, \infty]$ และ $\frac{1}{p} + \frac{1}{q} = 1$ แล้ว $f \in L_p, g \in L_q$

หมายความว่า $fg \in L_1$ และ

$$\|fg\|_1 \leq \|f\|_p \|g\|_q$$

เมื่อ $p = q = 2$ สมการของ Hölder จะกลายเป็นสมการของ Schwartz นั่นคือ

$$\|fg\|_1 \leq \|f\|_2 \|g\|_2 \quad (\text{ช.1.1})$$

บทต่อที่ ช.1.2 (Minkowski inequality) สำหรับ $p \in [1, \infty]$, $f, g \in L_p$ หมายความว่า $f+g \in L_p$

และ

$$\|f+g\|_p \leq \|f\|_p + \|g\|_p \quad (\text{ช.1.2})$$

บทต่อที่กล่าวมาข้างต้นยังคงใช้ได้กับฟังก์ชันรอยตัด f_t, g_t ของ f, g ตามลำดับ ตัวอย่างเช่นถ้า f และ g เป็นฟังก์ชันต่อเนื่องแล้ว $f, g \in L_p$ นั่นคือ $f_t, g_t \in L_p$ สำหรับค่าจำกัด $t \in [0, \infty)$ จาก (ช.1.1) จะได้ว่า $\|(fg)_t\|_1 \leq \|f_t\|_2 \|g_t\|_2$ นั่นคือ

$$\int_0^t |f(\tau)g(\tau)| d\tau \leq \left(\int_0^t |f(\tau)|^2 d\tau \right)^{1/2} \left(\int_0^t |g(\tau)|^2 d\tau \right)^{1/2}$$

ตัวอย่างที่ ช.1.1 พิจารณาฟังก์ชัน $f(t) = \frac{1}{1+t}$
ดังนั้น

$$\|f\|_\infty = \sup_{t \geq 0} \left| \frac{1}{1+t} \right| = 1, \quad \|f\|_2 = \left(\int_0^\infty \frac{1}{(1+t)^2} dt \right)^{1/2} = 1$$

$$\|f\|_1 = \int_0^\infty \frac{1}{1+t} dt = \lim_{t \rightarrow \infty} \ln(1+t) \rightarrow \infty$$

เพราะฉะนั้น $f \in L_2 \cap L_\infty$, $f \notin L_1$ แต่ $f \in L_1$ เพราะว่าสำหรับค่าจำกัด $t \geq 0$ ใดๆ จะได้ว่า

$$\int_0^t \frac{1}{1+t} d\tau = \ln(1+t) < \infty$$

▽

ตัวอย่างที่ ช.1.2 พิจารณาฟังก์ชัน

$$f(t) = 1+t, \quad g(t) = \frac{1}{1+t}, \quad \text{สำหรับ } t \geq 0$$

จะเห็นได้ว่า $f \notin L_p$ สำหรับ $p \in [1, \infty]$ ใดๆ และ $g \notin L_1$ แต่อย่างไรก็ตามทั้งสองฟังก์ชันอยู่ใน L_p และเป็นไปตามสมการของ Schwartz $\|(fg)_t\|_1 \leq \|f_t\|_2 \|g_t\|_2$

นั่นคือ

$$\int_0^t 1 d\tau \leq \left(\int_0^t (1+\tau)^2 d\tau \right)^{1/2} \left(\int_0^t \frac{1}{(1+\tau)^2} d\tau \right)^{1/2}$$

สำหรับ $t \in [0, \infty)$ ได้ ∇

ในบทต่อไปเราจะใช้สัญลักษณ์ต่อไปนี้ เราจะละด้าห้อข 2 จาก $\|\cdot\|_2$, เมื่อเราสนใจค่าประจำแบบยุคลิด (Euclidean norm) และ ค่าประจำ L_2 ถ้า $x: \mathbb{R}^+ \mapsto \mathbb{R}^n$ และ

$|x(t)|$ แทนค่าประจำเวกเตอร์ใน \mathbb{R}^n ที่แตกต่างเวลา t

$\|x_t\|_p$ แทนค่าประจำ L_{pe} ของฟังก์ชัน $|x(t)|$

$\|x\|_p$ แทนค่าประจำ L_p ของฟังก์ชัน $|x(t)|$

ข.1.2 คุณสมบัติของฟังก์ชัน (Properties of Functions)

นิยามที่ ข.1.2 ความต่อเนื่อง (Continuity) ฟังก์ชัน $f: [0, \infty) \mapsto \mathbb{R}$ ต่อเนื่องบน $[0, \infty)$ ถ้าสำหรับ $\varepsilon_0 > 0$ ใดๆ จะมี $\delta(\varepsilon_0, t_0)$ หนึ่งซึ่ง $\forall t_0, t \in [0, \infty)$ สำหรับ $|t - t_0| < \delta(\varepsilon_0, t_0)$ เราจะได้ว่า $|f(t) - f(t_0)| < \varepsilon_0$

นิยามที่ ข.1.3 ความต่อเนื่องเอกรูป (Uniform Continuity) ฟังก์ชัน $f: [0, \infty) \mapsto \mathbb{R}$ ต่อเนื่องแบบเอกรูป (Uniform) บน $[0, \infty)$ ถ้าสำหรับ $\varepsilon_0 > 0$ ใดๆ จะมี $\delta(\varepsilon_0)$ ซึ่ง $\forall t_0, t \in [0, \infty)$ สำหรับ $|t - t_0| < \delta(\varepsilon_0)$ เราจะได้ว่า $|f(t) - f(t_0)| < \varepsilon_0$

นิยามที่ ข.1.4 ความต่อเนื่องเป็นช่วง (Piecewise Continuity) ฟังก์ชัน $f: [0, \infty) \mapsto \mathbb{R}$ ต่อเนื่องเป็นช่วง (Piecewise) บน $[0, \infty)$ ถ้า f ต่อเนื่องบนช่วงจำกัดใดๆ $[t_0, t_1] \subset [0, \infty)$ ยกเว้นสำหรับจุดจำนวนจำกัดหนึ่งๆ

นิยามที่ ข.1.5 ความต่อเนื่องสัมบูรณ์ (Absolute Continuity) ฟังก์ชัน $f: [a, b] \mapsto \mathbb{R}$ ต่อเนื่องแบบสัมบูรณ์ (Absolute Continuity) บน $[a, b]$ ถ้าและเพียงแต่ถ้า สำหรับ $\varepsilon_0 > 0$ ใดๆ จะมี $\delta > 0$ ค่าหนึ่ง ซึ่ง

$$\sum_{i=1}^n |f(\alpha_i) - f(\beta_i)| < \varepsilon_0$$

สำหรับช่วงจำกัดย่อยใดๆ (α_i, β_i) ของ $[a, b]$ ที่ $\sum_{i=1}^n |\alpha_i - \beta_i| < \delta$

- ฟังก์ชัน $f(t) = \sin(1/t)$ ต่อเนื่องบน $(0, \infty)$ แต่ไม่ต่อเนื่องแบบ Uniform
- ฟังก์ชันที่นิยามด้วยคลื่นสี่เหลี่ยมนั่นนิยามซึ่งมีความถี่จำกัดไม่ต่อเนื่องบน $[0, \infty)$ แต่ต่อเนื่องแบบ Piecewise
- ฟังก์ชันที่ต่อเนื่องแบบเอกรูปจะเป็นฟังก์ชันต่อเนื่องด้วย

- ฟังก์ชัน f ที่มี $df/dt \in L_\infty$ เป็นฟังก์ชันต่อเนื่องแบบเอกรูป ดังนั้นวิธีหนึ่งที่จะทดสอบความต่อเนื่องแบบเอกรูปของฟังก์ชัน $f(t)$ ทำได้โดยการทดสอบการมีข้อบ่งบอกของ df/dt

ความจริงเกี่ยวกับฟังก์ชันซึ่งมีความสำคัญต่อการวิเคราะห์และเข้าใจเส้นรากของระบบปรับตัวของ

ความจริงข้อที่ 1 $\lim_{t \rightarrow \infty} f(t) = 0$ ไม่ได้หมายความว่า $f(t)$ มีลิmitขณะที่ $t \rightarrow \infty$

ตัวอย่างเช่น

$$\text{ฟังก์ชัน } f(t) = \sin(\sqrt{1+t}) \quad \text{จะได้ว่า } f'(t) = \frac{\cos(\sqrt{1+t})}{2\sqrt{1+t}} \rightarrow 0 \text{ ขณะที่ } t \rightarrow \infty \text{ แต่ } f(t)$$

ไม่มีลิmit ตัวอย่างอื่นๆ ได้แก่ $f(t) = \sqrt{1+t} \sin(\ln(1+t))$ ซึ่งเป็นฟังก์ชันไม่มีลิmitเมื่อ $t \rightarrow \infty$ เมื่อ $f'(t) = \frac{\sin(\ln(1+t))}{2\sqrt{1+t}} + \frac{\cos(\ln(1+t))}{\sqrt{1+t}} \rightarrow 0$ ขณะที่ $t \rightarrow \infty$

ความจริงข้อที่ 2 $\lim_{t \rightarrow \infty} f(t) = c$ สำหรับบางค่าคงที่ $c \in \mathbb{R}$ ไม่ได้หมายความว่า $df(t)/dt \rightarrow 0$ ขณะที่ $t \rightarrow \infty$

ตัวอย่างเช่น

$$\text{ฟังก์ชัน } f(t) = \frac{\sin(1+t)^n}{1+t} \text{ จะถูกเข้าหาศูนย์ขณะที่ } t \rightarrow \infty \text{ สำหรับจำนวนเต็มจำกัด } n \text{ ได้ฯ}\newline \text{แต่ } f'(t) = -\frac{\sin(1+t)^n}{(1+t)^2} + n(1+t)^{n-2} \cos(1+t)^n \text{ ซึ่งไม่มีข้อบ่งบอก ขณะที่ } t \rightarrow \infty \text{ สำหรับ } n > 2$$

บทต่อไปนี้เป็นจุดเด่นของการวิเคราะห์หลักการปรับตัวเองมีดังต่อไปนี้

บทต่อไปนี้เป็นจุดเด่นของการวิเคราะห์หลักการปรับตัวเองมีดังต่อไปนี้

บทต่อไปนี้เป็นจุดเด่นของการวิเคราะห์หลักการปรับตัวเองมีดังต่อไปนี้

- ฟังก์ชัน $f(t)$ ที่มีข้อบ่งบอกล่าง (bounded from below) และไม่เพิ่มขึ้น จะมีลิmitขณะที่ $t \rightarrow \infty$
- พิจารณาฟังก์ชันสเกลาร์ที่ไม่เป็นลบ $f(t), g(t)$ สำหรับทุกๆ $t \geq 0$ ถ้า $f(t) \leq g(t) \quad \forall t > 0$ และ $g \in L_p$ แล้วจะได้ว่า $f \in L_p$ ด้วยสำหรับทุกๆ $p \in [1, \infty]$

ข้อสังเกตในบทต่อไปนี้เป็นจุดเด่นของการวิเคราะห์หลักการปรับตัวเองมีดังต่อไปนี้ ในข้อที่หนึ่งไม่ได้หมายความว่า $f \in L_\infty$ ยกตัวอย่างเช่น ฟังก์ชัน $f(t) = 1/t$ โดย $t \in (0, \infty)$ ซึ่งมีข้อบ่งบอกล่าง (bounded from below) นั่นคือ $f(t) \geq 0$ และไม่เพิ่มขึ้น แต่มันจะไม่มีข้อบ่งบอกขณะที่ $t \rightarrow 0$

บทต่อไปนี้เป็นจุดเด่นของการวิเคราะห์หลักการปรับตัวเองมีดังต่อไปนี้

$$V(t) \leq e^{-\alpha(t-t_0)} V(t_0) + \int_{t_0}^t e^{-\alpha(t-\tau)} f(\tau) d\tau, \quad \forall t \geq t_0 \geq 0$$

สำหรับค่าคงที่จำกัด α ใดๆ

บทต่อไปนี้ ข.1.5 ถ้า $f, f' \in L_\infty$ และ $f \in L_p$ สำหรับบาง $p \in [1, \infty)$ แล้ว $f(t) \rightarrow 0$ ขณะที่ $t \rightarrow \infty$

บทต่อไปนี้ ข.1.6 (Barbalat's Lemma) ถ้า $\lim_{t \rightarrow \infty} \int_0^t f(\tau) d\tau$ มีอยู่ (Exist) และมีค่าจำกัดและ $f(t)$ เป็นพังก์ชันต่อเนื่องเอกรูปแล้ว $\lim_{t \rightarrow \infty} f(t) = 0$

จะสังเกตได้ว่าว่าบทต่อไปนี้ เป็นกรณีพิเศษของบทต่อไปนี้ ข.1.6

ข.1.3 เมทริกซ์บวกແນ่นอน (Positive definite matrices)

เมทริกซ์จตุรัส $A \in \mathbb{R}^{n \times n}$ ถูกเรียกว่า สมมาตร (Symmetric) ถ้า $A = A^T$ เมทริกซ์สมมาตร A ถูกเรียกว่า บวกกึ่งແນ่นอน (Positive semidefinite) ถ้าสำหรับทุกๆ $x \in \mathbb{R}^n$, $x^T A x \geq 0$ และ ถูกเรียกว่า บวกແນ่นอน (Positive definite) ถ้า $x^T A x > 0$ สำหรับทุกๆ $x \in \mathbb{R}^n$ เมื่อ $|x| \neq 0$ ในทางกลับกันจะถูกเรียกว่า ลบกึ่งແນ่นอน (Negative semidefinite) และลบແນ่นอน (Negative definite) ถ้า $-A$ เป็นบวกกึ่งແນ่นอน และบวกແນ่นอนตามลำดับ

เราเขียน $A \geq 0$ แทน A เป็นบวกกึ่งແນ่นอน และ $A > 0$ ถ้า A เป็นบวกແນ่นอน ยกเว้นจะระบุความหมายอื่นๆไว้ต่างหาก

เมทริกซ์จตุรัส $A \in \mathbb{R}^{n \times n}$ เป็นบวกແນ่นอนถ้าและเพียงแต่ถ้าข้อหนึ่งข้อใดต่อไปนี้เป็นจริง :

1. $\lambda_i(A) > 0$, $i = 1, 2, \dots, n$ โดยที่ $\lambda_i(A)$ แทนค่าเจาะจง (Eigenvalue) ที่ i ของ A ซึ่งเป็นค่าจริง เพราะว่า $A = A^T$
2. ไม่มีเมทริกซ์ไม่เอกฐาน (Nonsingular) A_1 ซึ่ง $A = A_1 A_1^T$
3. ทุกๆ ไม่นอร์หลัก (Principal minor) ของ A เป็นบวก
4. $x^T A x \geq \alpha |x|^2$ สำหรับบาง $\alpha > 0$ และ $\forall x \in \mathbb{R}^n$

การแยก $A = A_1 A_1^T$ ใน 2. จะแยกได้แบบเดียวกับเมื่อ A_1 นั้นสมมาตรด้วย ในกรณีนี้ A_1 เป็นบวกແນ่นอนจะมีเวกเตอร์เจาะจงเหมือนกับ A และค่าเจาะจงเท่ากับรากที่สองของค่าเจาะจงของ A

จะเห็นว่าถ้า $A > 0$ และ $B \geq 0$ แล้ว $A + B > 0$ แต่ไม่สามารถสรุปได้ว่า $AB \geq 0$

ช.2 เสถียรภาพเดียบูนอฟ

ช.2.1 นิยามของเสถียรภาพ

เราพิจารณาระบบที่อธิบายด้วย สมการเชิงอนุพันธ์สามัญ (Ordinary differential equations) ที่อยู่ในรูปต่อไปนี้

$$\dot{x} = f(t, x), \quad x(t_0) = x_0 \quad (\text{ช.2.1})$$

โดยที่ $x \in \mathbb{R}^n$, $f: \mathbb{R} \times \beta(r) \mapsto \mathbb{R}$, $\mathbb{R} = [t_0, \infty)$ และ $\beta(r) = \{x \in \mathbb{R}^n \mid \|x\| < r\}$ เรา假定ว่า สำหรับทุกๆ $x_0 \in \beta(r)$ และทุกๆ $t_0 \in \mathbb{R}^+$ สมการ (ช.2.1) จะมีผลเฉลยเพียงหนึ่งเดียวคือ $x(t; t_0, x_0)$

นิยามที่ ช.2.1 สถานะ x_e ถูกเรียกว่า สถานะสมดุล (Equilibrium state) ของระบบที่บรรยายได้ด้วย (ช.2.1) ถ้า $f(t, x_e) = 0$ สำหรับทุกๆ $t \geq t_0$

นิยามที่ ช.2.2 สถานะสมดุล x_e ถูกเรียกว่า สถานะสมดุลเอกเทศ (Isolated equilibrium state) ถ้ามีค่าคงที่ $r > 0$ ค่าหนึ่งซึ่งภายใน $\beta(x_e, r) = \{x \mid |x - x_e| < r\} \subset \mathbb{R}^n$ ไม่มีสถานะสมดุลของ (ช.2.1) นอกจาก x_e

นิยามที่ ช.2.3 สถานะสมดุล x_e ถูกเรียกว่า เสถียร (Stable) (ในความหมายของเดียบูนอฟ) ถ้าสำหรับค่า t_0 และ $\varepsilon > 0$ โดยแล้วจะมี $\delta(\varepsilon, t_0)$ หนึ่งซึ่งเมื่อ $|x_0 - x_e| < \delta(\varepsilon, t_0)$ เราจะได้ว่า $|x(t; t_0, x_0) - x_e| < \varepsilon$ สำหรับทุกๆ $t \geq t_0$

นิยามที่ ช.2.4 สถานะสมดุล x_e ถูกเรียกว่า เสถียรแบบเอกรูป (Uniformly stable, u.s.) ถ้า

1. สถานะนั้นเสถียรและ
2. ถ้า $\delta(\varepsilon, t_0)$ ในนิยามที่ ช.2.3 ไม่ขึ้นกับ t_0

นิยามที่ ช.2.5 สถานะสมดุล x_e ถูกเรียกว่า เสถียรแบบเชิงเส้นกำกับ (Asymptotically stable, a.s.) ถ้า

1. สถานะนั้นเสถียร และ
2. มี $\delta(t_0)$ หนึ่งซึ่งเมื่อ $|x_0 - x_e| < \delta(t_0)$ เราจะได้ว่า $\lim_{t \rightarrow \infty} |x(t; t_0, x_0) - x_e| = 0$

นิยามที่ ช.2.6 เชตของทุกๆ $x_0 \in \mathbb{R}^n$ ซึ่ง $x(t; t_0, x_0) \rightarrow x_e$ ขณะที่ $t \rightarrow \infty$ สำหรับบาง $t_0 \geq 0$ ถูกเรียกว่า บริเวณดึงดูด (Region of attraction) ของสถานะสมดุล x_e ถ้าสภาวะที่ 2. ของนิยาม ช.2.5 เป็นจริง แล้วสถานะสมดุล x_e จะถูกเรียกว่าเป็นแบบดึงดูด (attractive)

นิยามที่ ข.2.7 สถานะสมดุล x_e ถูกเรียกว่า เสถีรแบบเชิงเส้นกำกับเอกรูป (Uniformly asymptotically stable, u.a.s.) ถ้า

1. สถานะนั้นเป็น u.s.
2. สำหรับทุกๆ $\varepsilon > 0$ และ $t_0 \in \mathbb{R}^+$ ใดๆ จะมี $\delta_0 > 0$ หนึ่งซึ่งอิสระจาก t_0 และ ε และมี $T(\varepsilon) > 0$ หนึ่งซึ่งอิสระจาก t_0 เพื่อที่ $|x(t; t_0, x_0) - x_e| < \varepsilon$ สำหรับทุกๆ $t \geq t_0 + T(\varepsilon)$ เมื่อได้ตามที่ $|x_0 - x_e| < \delta_0$

นิยามที่ ข.2.8 สถานะสมดุล x_e เสถีรแบบเลขชี้กำลัง (Exponentially stable, e.s.) ถ้ามี $\alpha > 0$ หนึ่ง และสำหรับทุกๆ $\varepsilon > 0$ จะมี $\delta(\varepsilon) > 0$ เพื่อที่

$$|x(t; t_0, x_0) - x_e| \leq \varepsilon e^{-\alpha(t-t_0)} \quad \text{สำหรับทุกๆ } t \geq t_0 \quad \text{เมื่อได้ตามที่ } |x_0 - x_e| < \delta(\varepsilon)$$

นิยามที่ ข.2.9 สถานะสมดุล x_e ถูกเรียกว่าไม่เสถีร (Unstable) ถ้าสถานะนั้นไม่เสถีร (It is not stable)

เมื่อสมการ (ข.2.1) มีผลเฉลยสำหรับแต่ละ $x_0 \in \mathbb{R}^n$ และ $t_0 \in \mathbb{R}^+$ เพียงหนึ่งเดียว เราต้องการนิยามต่อไปนี้สำหรับของลักษณะของวิวัฒนาการ (Global) ของผลเฉลย

นิยามที่ ข.2.10 ผลเฉลย $x(t; t_0, x_0)$ ของสมการ (ข.2.1) มีขอบเขต (Bounded) ถ้ามี $\beta > 0$ หนึ่งซึ่งทำให้ $|x(t; t_0, x_0)| < \beta$ สำหรับทุกๆ $t \geq t_0$ โดยที่ β อาจจะขึ้นกับแต่ละผลเฉลย

นิยามที่ ข.2.11 ผลเฉลยของสมการ (ข.2.1) มีขอบเขตแบบเอกรูป (Uniformly bounded, u.b.) ถ้าสำหรับ $\alpha > 0$ ใดๆ และ $t_0 \in \mathbb{R}^+$ จะมี $\beta = \beta(\alpha)$ หนึ่งซึ่งอิสระจาก t_0 เพื่อที่ ถ้า $|x_0| < \alpha$ และเราจะได้ว่า $|x(t; t_0, x_0)| < \beta$ สำหรับทุกๆ $t \geq t_0$

นิยามที่ ข.2.12 ผลเฉลยของสมการ (ข.2.1) มีขอบเขตแบบเอกรูปที่สุด (Ultimately bounded, u.u.b.) ด้วยขอบเขต B ถ้ามี $B > 0$ หนึ่งและถ้าสัมพันธ์กับ $\alpha > 0$ ใดๆ และ $t_0 \in \mathbb{R}^+$ จะมี $T = T(\alpha) > 0$ หนึ่งซึ่งอิสระจาก t_0 ซึ่งเมื่อ $|x_0| < \alpha$ เราจะได้ว่า $|x(t; t_0, x_0)| < B$ สำหรับทุกๆ $t \geq t_0 + T$

นิยามที่ ข.2.13 สถานะสมดุล x_e ของสมการ (ข.2.1) เสถีรแบบเชิงเส้นกำกับในวงกว้าง (Asymptotically stable in the large, a.s. in the large) ถ้าสถานะนั้นเสถีรและทุกๆ ผลเฉลยของ (ข.2.1) จะลู่เข้าหา x_e เมื่อ $t \rightarrow \infty$ หรือกล่าวไก่ว่า บริเวณดึงดูดของ x_e ก็อทุกๆ จุดใน \mathbb{R}^n

นิยามที่ ข.2.14 สถานะสมดุล x_e ของสมการ (ข.2.1) เสถียรเชิงเส้นกำกับในวงกว้างแบบเอกรูป (Uniformly asymptotically stable in the large, u.a.s. in the large) ถ้า

1. สถานะนั้นเสถียรแบบเอกรูป
2. ผลเฉลยของ (ข.2.1) มีขอบเขตแบบเอกรูปแล้ว
3. สำหรับ $\alpha > 0$ ใดๆ $\varepsilon > 0$ ใดๆ และ $t_0 \in \mathbb{R}^+$ จะมี $T = T(\varepsilon, \alpha) > 0$ ซึ่งอิสระจาก t_0 เพื่อที่ถ้า $|x_0 - x_e| < \alpha$ และ $|x(t; t_0, x_0) - x_e| < \varepsilon$ สำหรับทุกๆ $t \geq t_0 + T(\varepsilon, \alpha)$

นิยามที่ ข.2.15 สถานะสมดุล x_e ของสมการ (ข.2.1) เสถียรแบบเลขชี้กำลังในวงกว้าง (Exponentially stable in the large, e.s. in the large) ถ้ามี $\alpha > 0$ และ สำหรับ $\beta > 0$ ใดๆ จะมี $k(\beta)$ เพื่อที่ $|x(t; t_0, x_0)| \leq k(\beta) e^{-\alpha(t-t_0)}$ สำหรับทุกๆ $t \geq t_0$ เมื่อได้ค่าตามที่ $|x_0| < \beta$

นิยามที่ ข.2.16 ถ้า $x(t; t_0, x_0)$ เป็นผลเฉลยของ $\dot{x} = f(t, x)$ แล้ววิถี (Trajectory) $x(t; t_0, x_0)$ ถูกเรียกว่า เสถียร (u.s., a.s., u.a.s., e.s., ไม่เสถียร) ถ้าสถานะสมดุล $z_e = 0$ ของสมการอนุพันธ์ $\dot{z} = f(t, z + x(t; t_0, x_0)) - f(t, x(t; t_0, x_0))$ เสถียร (u.s., a.s., u.a.s., e.s., ไม่เสถียร)

ตัวอย่างต่อไปนี้จะช่วยให้เข้าใจนิยามต่างๆ ได้ก่อความมาแล้วได้ดียิ่งขึ้น

ตัวอย่างที่ ข.2.1

1. $\dot{x} = 0$ มีสถานะสมดุล $x_e = c$ โดยที่ c เป็นค่าคงที่ใดๆ ซึ่งไม่เป็นสถานะสมดุลเอกเทศและสามารถพิสูจน์ได้ว่า $x_e = c$ นั้นเสถียร, u.s. แต่ไม่ a.s.
2. $\dot{x} = -x^3$ มีสถานะสมดุลเอกเทศ $x_e = 0$ ผลเฉลยของสมการนี้คือ

$$x(t) = x(t; t_0, x_0) = \sqrt{\frac{x_0^2}{1+2x_0^2(t-t_0)}} \quad (\text{ข.2.2})$$

สมมุติให้ $\varepsilon > 0$, $|x_0| < \delta = \varepsilon$ หมายความว่า

$$|x(t)| = \sqrt{\frac{x_0^2}{1+2x_0^2(t-t_0)}} \leq |x_0| < \varepsilon, \quad \forall t \geq t_0 \geq 0$$

ดังนั้นจากนิยามที่ ข.2.3 $x_e = 0$ เสถียร เพราะว่า $\delta = \varepsilon$ อิสระจาก t_0 ดังนั้น $x_e = 0$ เป็น u.s. ด้วย ยิ่งกว่านั้น $x_e = 0$ เสถียร $x(t) \rightarrow x_e = 0$ ขณะที่ $t \rightarrow \infty$ สำหรับทุกๆ $x_0 \in \mathbb{R}$ จะได้ว่าเป็น a.s. in the large ต่อไปเราจะทดสอบว่าเมื่อไรที่ $x_e = 0$ เป็น u.a.s. in the large โดยใช้นิยาม ข.2.14 เราได้แสดง u.s. แล้วจากสมการ (ข.2.2) จะเห็นว่า $x(t)$ เป็น u.b. เพื่อให้ตรงตามสภาวะ 3. ของนิยาม ข.2.14 เราต้องหา $T > 0$ ซึ่งอิสระจาก t_0 เพื่อที่สำหรับ $\alpha > 0$ ใดๆ และ $\varepsilon > 0$, $|x_0| < \alpha$ จะหมายความว่า $|x(t)| < \varepsilon$ สำหรับทุกๆ $t \geq t_0 + T$ จากสมการ (ข.2.2) จะได้ว่า

$$|x(t)| \leq |x(t_0 + T)| = \sqrt{\frac{x_0^2}{1+2x_0^2T}} < \sqrt{\frac{1}{2T}}, \quad \forall t \geq t_0 \geq 0$$

การเลือก $T = \frac{1}{2\varepsilon^2}$, จะเห็นว่าเป็นไปตาม $|x(t)| < \varepsilon$, $\forall t \geq t_0 + T$ ดังนั้น $x_e = 0$ เป็น u.a.s. in the large โดยใช้ข้อบ่งชี้ ข.2.15 เราสามารถสรุปได้ว่า $x_e = 0$ ไม่เป็น e.s.

3. $\dot{x} = (x-2)x$ มีสถานะสมดุลเอกเทศสองจุด คือ $x_e = 0$ และ $x_e = 2$ เราสามารถแสดงได้ว่า $x_e = 0$ เป็น e.s. ที่มีพื้นผิวคงคลุม $R_a = \{x \mid x < 2\}$ และ $x_e = 2$ ไม่เสถียร
4. $\dot{x} = -\frac{1}{1+t}x$ มีสถานะสมดุลหนึ่งจุดที่ $x_e = 0$ ซึ่งเสถียร, u.s., a.s. in the large แต่ไม่เป็น u.a.s.
5. $\dot{x} = (t \sin t - \cos t - 2)x$ มีสถานะสมดุลหนึ่งจุดที่ $x_e = 0$ ซึ่งเสถียร, a.s. in the large แต่ไม่เป็น u.s.

ข.3 วิธีตรของเลียปูนอฟ

เสถียรภาพของสถานะสมดุลหรือผลเฉลยของของสมการ (ข.2.1) สามารถพิจารณาได้ด้วยวิธี ตรของเลียปูนอฟ (Lyapunov's direct method) หรือบางที่เรียกว่าวิธีที่สองของเลียปูนอฟ (Lyapunov's second method) จุดประสงค์ของวิธีนี้คือ เพื่อให้สามารถอนุมัติเสถียรภาพของระบบจาก $f(t, x)$ ในสมการ (ข.2.1) มากกว่าการที่จะต้องแก้สมการหาผลเฉลยโดยตรง เราจะเริ่มนิยามต่อไปนี้

นิยามที่ ข.3.1 พังก์ชันต่อเนื่อง $\phi : [0, r] \mapsto \mathbb{R}^+$ (หรือ พังก์ชันต่อเนื่อง $\phi : [0, \infty) \mapsto \mathbb{R}^+$) ถูกเรียกว่าอยู่ในคลาส (class) \mathcal{A} นั่นคือ $\phi \in \mathcal{A}$ ถ้า

1. $\phi(0) = 0$
2. ϕ เพิ่มขึ้นอย่างแน่นอน (Strictly increasing) บน $[0, r]$ (หรือ บน $[0, \infty)$)

นิยามที่ ข.3.2 พังก์ชันต่อเนื่อง $\phi : [0, \infty) \mapsto \mathbb{R}^+$ ถูกเรียกว่าอยู่ในคลาส (class) \mathcal{B} นั่นคือ $\phi \in \mathcal{B}$ ถ้า

1. $\phi(0) = 0$
2. ϕ เพิ่มขึ้นอย่างแน่นอนบน $[0, \infty)$
3. $\lim_{r \rightarrow \infty} \phi(r) = \infty$

พังก์ชัน $\phi(|x|) = \frac{x^2}{1+x^2}$ อยู่ในคลาส \mathcal{A} ที่นิยามบน $[0, \infty)$ แต่ไม่อยู่ในคลาส \mathcal{B} พังก์ชัน $\phi(|x|) = |x|$ อยู่ในคลาส \mathcal{B} และ \mathcal{A} จะเห็นได้ชัดว่า $\phi \in \mathcal{B}$ หมายความว่า $\phi \in \mathcal{A}$ แต่กลับกันไม่จริง

นิยามที่ ข.3.3 พังก์ชัน $\phi_1, \phi_2 \in \mathcal{A}$ นิยามบน $[0, r]$ (หรือบน $[0, \infty)$) จะถูกเรียกว่ามีขนาดของอันดับเหมือนกัน (of the same order of magnitude) ถ้ามีค่าคงที่บวก k_1, k_2 เพื่อที่

$$k_1 \phi_1(r_1) \leq \phi_2(r_1) \leq k_2 \phi_1(r_1), \quad \forall r_1 \in [0, r] \text{ (หรือ } \forall r_1 \in [0, \infty))$$

ฟังก์ชัน $\phi_1(|x|) = \frac{x^2}{1+2x^2}$ และ $\phi_2(|x|) = \frac{x^2}{1+x^2}$ มีขนาดของอันดับเหมือนกัน

นิยามที่ ข.3.4 ฟังก์ชัน $V(t, x) : \mathbb{R}^+ \times \beta(r) \mapsto \mathbb{R}$ ซึ่ง $V(t, 0) = 0$, $\forall t \in \mathbb{R}^+$ ถูกเรียกว่าเป็น บวกแน่นอน ถ้ามีฟังก์ชันต่อเนื่อง $\phi \in \mathcal{N}$ เพื่อที่ $V(t, x) \geq \phi(|x|)$, $\forall t \in \mathbb{R}^+$, $x \in \beta$ และ $r > 0$ $V(t, x)$ จะถูกเรียกว่าเป็นลบแน่นอน ถ้า $-V(t, x)$ เป็นบวกแน่นอน

$$\text{ฟังก์ชัน } V(t, x) = \frac{x^2}{1-x^2} \text{ ซึ่ง } x \in \beta(1) \text{ เป็นบวกแน่นอนแต่ } V(t, x) = \frac{1}{1+t} x^2 \text{ ไม่เป็น}$$

$$\text{ส่วนฟังก์ชัน } V(t, x) = \frac{x^2}{1+x^2} \text{ เป็นบวกแน่นอนสำหรับทุกๆ } x \in \mathbb{R}$$

นิยามที่ ข.3.5 ฟังก์ชัน $V(t, x) : \mathbb{R}^+ \times \beta(r) \mapsto \mathbb{R}$ ซึ่ง $V(t, 0) = 0$, $\forall t \in \mathbb{R}^+$ ถูกเรียกว่าเป็น บวก (ลบ) กึ่งแน่นอน ถ้า $V(t, x) \geq 0$ ($V(t, x) \leq 0$) สำหรับทุกๆ $t \in \mathbb{R}^+$ และ $x \in \beta(r)$ สำหรับบาง $r > 0$

นิยามที่ ข.3.6 ฟังก์ชัน $V(t, x) : \mathbb{R}^+ \times \beta(r) \mapsto \mathbb{R}$ ซึ่ง $V(t, 0) = 0$, $\forall t \in \mathbb{R}^+$ ถูกเรียกว่าเป็น ดีคิลีสเซนต์ (decreasing) ถ้ามี $\phi \in \mathcal{N}$ เพื่อที่ $|V(t, x)| \leq \phi(|x|)$, $\forall t \geq 0$ และ $\forall x \in \beta(r)$ สำหรับบาง $r > 0$

$$\text{ฟังก์ชัน } V(t, x) = \frac{1}{1+t} x^2 \text{ เป็นดีคิลีสเซนต์ เพราะว่า } V(t, x) = \frac{1}{1+t} x^2 \leq x^2, \forall t \in \mathbb{R}^+$$

แต่ $V(t, x) = t x^2$ ไม่เป็น

นิยามที่ ข.3.7 ฟังก์ชัน $V(t, x) : \mathbb{R}^+ \times \mathbb{R}^n \mapsto \mathbb{R}$ ซึ่ง $V(t, 0) = 0$, $\forall t \in \mathbb{R}^+$ ถูกเรียกว่า ไม่มีขอบเขต เชิงรัศมี (radially unbounded) ถ้ามี $\phi \in \mathcal{N}$ เพื่อที่ $V(t, x) \geq \phi(|x|)$ สำหรับทุกๆ $x \in \mathbb{R}^n$ และ $t \in \mathbb{R}^+$

ฟังก์ชัน $V(x) = \frac{x^2}{1+x^2}$ เป็นไปตามสภาวะที่ 1. และ 2. ของนิยามที่ ข.3.1 โดยการเลือก $\phi(|x|) = \frac{|x|^2}{1+|x|^2}$ อย่างไรก็ตาม เพราะว่า $V(x) \leq 1$ จึงไม่สามารถหาฟังก์ชัน $\phi(|x|) \in \mathcal{N}$ เพื่อที่ $V(x) \geq \phi(|x|)$ สำหรับทุกๆ $x \in \mathbb{R}^n$ ดังนั้น V ไม่ใช่ไม่มีขอบเขตเชิงรัศมี

จะเห็นได้ชัดว่าจากนิยามที่ ข.3.7 ซึ่งถ้า $V(t, x)$ ไม่มีขอบเขตเชิงรัศมีนั้นก็จะเป็นบวกแน่นอน สำหรับทุกๆ $x \in \mathbb{R}^n$ ด้วยแต่ว่ากลับกันไม่เป็นความจริง

เราจะสมมุติ (โดยไม่เสียความเป็นสากล) ให้ $x_e = 0$ เป็นจุดสมดุลของระบบในสมการ (ข.2.1) และนิยามให้ \dot{V} เป็นอนุพันธ์เทียบกับเวลาของ $V(t, x)$ ตลอดผลเฉลยของ (ข.2.1)

$$\dot{V} = \frac{\partial V}{\partial t} + (\nabla V)^T f(t, x) \quad (\text{ข.3.1})$$

โดยที่ $\nabla V = [\partial V / \partial x_1, \partial V / \partial x_2, \dots, \partial V / \partial x_n]^T$ เป็นเกรเดียนท์ของ V เทียบกับ x วิธีที่สองของเลิยปูนอฟ ถูกควบรวมด้วยทฤษฎีต่อไปนี้

ทฤษฎีที่ ข.3.1 สมมุติว่ามีฟังก์ชันบวกແน่นอน $V(t, x) : \mathbb{R}^+ \times \beta(r) \mapsto \mathbb{R}$ สำหรับบาง $r > 0$ ซึ่งมีอนุพันธ์ย่อยอันดับที่หนึ่งเทียบกับ x , t ต่อเนื่องและ $V(t, 0) = 0, \forall t \in \mathbb{R}^+$ ดังนั้นสภาวะต่อไปนี้เป็นจริง

1. ถ้า $\dot{V} \leq 0$ และ $x_e = 0$ จะเสถียร
2. ถ้า V เป็นดีกรีสเซนต์ และ $\dot{V} \leq 0$ และ $x_e = 0$ เป็น u.s.
3. ถ้า V เป็นดีกรีสเซนต์ และ $\dot{V} < 0$ และ $x_e = 0$ เป็น u.a.s.
4. ถ้า V เป็นดีกรีสเซนต์ และมี $\phi_1, \phi_2, \phi_3 \in \mathbb{N}$ ซึ่งมีขนาดของอันดับเหมือนกัน เพื่อที่

$$\phi_1(|x|) \leq V(t, x) \leq \phi_2(|x|), \quad \dot{V}(t, x) \leq -\phi_3(|x|)$$

สำหรับทุกๆ $x \in \beta(r)$ และ $t \in \mathbb{R}^+$ และ $x_e = 0$ เป็น e.s.

ทฤษฎีข้างบนนี้สถานะ x_e ถูกจำกัดอยู่ในบล็อก $\beta(r)$ สำหรับบาง $r > 0$ ดังนั้นผลใน 1 ถึง 4 ของทฤษฎีที่ ข.3.1 เป็นผล局部 (Local)

ทฤษฎีที่ ข.3.2 สมมุติว่าสมการ (ข.2.1) ให้คำอุปเพียงหนึ่งเดียวสำหรับทุกๆ $x_0 \in \mathbb{R}^n$ สมมุติว่ามีฟังก์ชันบวกແน่นอน ดีกรีสเซนต์ และ ไม่มีขอบเขตเชิงรักมี $V(t, x) : \mathbb{R}^+ \times \mathbb{R}^n \mapsto \mathbb{R}^+$ ซึ่งมีอนุพันธ์ย่อยอันดับที่หนึ่งเทียบกับ x , t ต่อเนื่องและ $V(t, 0) = 0, \forall t \in \mathbb{R}^+$ ดังนั้นสภาวะต่อไปนี้เป็นจริง

1. ถ้า $\dot{V} < 0$ และ $x_e = 0$ จะเป็น u.a.s. ในวงศ์ว้าง
2. ถ้ามี $\phi_1, \phi_2, \phi_3 \in \mathbb{N}$ มีขนาดของอันดับเหมือนกัน เพื่อที่

$$\phi_1(|x|) \leq V(t, x) \leq \phi_2(|x|), \quad \dot{V}(t, x) \leq -\phi_3(|x|)$$

แล้ว $x_e = 0$ เป็น e.s. ในวงศ์ว้าง

ทฤษฎีที่ ข.3.3 สมมุติว่าสมการ (ข.2.1) ให้คำอุปเพียงหนึ่งเดียวสำหรับทุกๆ $x_0 \in \mathbb{R}^n$ ถ้ามีฟังก์ชัน $V(t, x)$ หนึ่งที่นิยามบน $|x| \geq R$ และ $t \in [0, \infty)$ ซึ่งมีอนุพันธ์ย่อยอันดับที่หนึ่งเทียบกับ x , t ต่อเนื่อง และถ้ามี $\phi_1, \phi_2 \in \mathbb{N}$ เพื่อที่

1. $\phi_1(|x|) \leq V(t, x) \leq \phi_2(|x|)$
2. $\dot{V}(t, x) \leq 0$

สำหรับทุกๆ $|x| \geq R$ และ $t \in [0, \infty)$ แล้วผลเฉลยของสมการ (ข.2.1) จะเป็น u.b. ถ้ามี $\phi_3 \in \mathbb{N}$ นิยามบน $[0, \infty)$ และ

3. $\dot{V}(t, x) \leq -\phi_3(|x|)$ สำหรับทุกๆ $|x| \geq R$ และ $t \in [0, \infty)$ ดังนั้นผลเฉลยของ (ข.2.1) จะเป็น u.u.b.

ระบบในสมการ (ข.2.1) เรียกว่า ไม่อิสระ (Nonautonomous) แต่ถ้า f ใน (ข.2.1) ไม่ขึ้นกับเวลา t อ่างเด่นชัดเราจะเรียกว่า อิสระ (Autonomous) ในกรณีนี้จะได้ว่า

$$\dot{x} = f(x) \tag{ข.3.2}$$

ทฤษฎีที่ ข.3.1 ถึง ข.3.3 ยังคงใช้ได้สำหรับ (ข.3.2) เพราะว่าเป็นกรณีพิเศษของ (ข.2.1) อ่างไรก็ตามเนื่องจากไม่ขึ้นกับ t อ่างเด่นชัด ดังนั้นคำว่า “ดีกรีสเซนต์” และ “เอกภูมิ” จะถูกดัด

ออก ที่เป็นเช่นนี้เพราะว่า $V(x)$ เป็นคีริสเซนต์สมอและเสถียรภาพ (a.s. ตามลำดับ) ของจุดสมดุล $x_e = 0$ ของ (x.3.2) หมายถึง u.s. (u.a.s. ตามลำดับ)

สำหรับระบบ (x.3.2) เราอาจสรุปผลจากทฤษฎีที่ x.3.2 ให้รักกุมขึ้นได้ดังต่อไปนี้

นิยามที่ x.3.8 เชต Ω หนึ่งใน \mathbb{R}^n ไม่แปรผัน (Invariant) เทียบกับสมการ (x.3.2) ถ้าทุกๆผลเฉลยของ (x.3.2) ที่เริ่มจาก Ω แล้วยังคงอยู่ใน Ω สำหรับทุกๆ t

ทฤษฎีที่ x.3.4 สมมุติว่าสมการ (x.3.2) ให้คำตوبนเพียงหนึ่งเดียวสำหรับทุกๆ $x_0 \in \mathbb{R}^n$ ถ้ามีฟังก์ชัน $V(t, x) : \mathbb{R}^n \mapsto \mathbb{R}^+$ เป็นบวกแน่นอนและไม่มีขอบเขตเชิงรัศมี ซึ่งมีอนุพันธ์ย่อยอันดับที่หนึ่งเทียบกับ x, t ต่อเนื่องและ $V(0) = 0$ ถ้า

1. ถ้า $\dot{V} \leq 0, \forall x \in \mathbb{R}^n$
 2. จุดเริ่มต้น เป็นสับเซตไม่แปรผันเดียวของเชต $\Omega = \{x \in \mathbb{R}^n \mid \dot{V} = 0\}$
- ดังนั้นจุดสมดุล $x_e = 0$ ของสมการ (x.3.2) เป็น a.s. ในวงกว้าง

ทฤษฎีที่ x.3.1 ถึง x.3.4 เรียกว่า ทฤษฎี Lyapunov-type ฟังก์ชัน $V(t, x)$ หรือ $V(x)$ ซึ่งเป็นไปตามทฤษฎี Lyapunov-type จะเรียกว่า ฟังก์ชันเลียปูนอฟ ฟังก์ชันเลียปูนอฟสามารถใช้คาดเดาการขาดเสถียรภาพของสถานะสมดุล x_e ทฤษฎีไม่มีเสถียรภาพ (instability) ส่วนใหญ่ยังคงอาศัยวิธีที่สองของเลียปูนอฟ

ตัวอย่างต่อไปนี้แสดงการใช้วิธีตรอกของเลียปูนอฟวิเคราะห์เสถียรภาพของระบบไม่เชิงเส้น

ตัวอย่างที่ x.3.1 พิจารณาระบบ

$$\begin{aligned}\dot{x}_1 &= x_2 + cx_1(x_1^2 + x_2^2) \\ \dot{x}_2 &= -x_1 + cx_2(x_1^2 + x_2^2)\end{aligned}\quad (\text{x.3.3})$$

โดยที่ c เป็นค่าคงที่ จะเห็นว่า $x_e = 0$ เป็นสถานะสมดุลเดียว เลือกฟังก์ชันเลียปูนอฟดังต่อไปนี้ $V(x) = x_1^2 + x_2^2$ $V(x)$ เป็นบวกแน่นอน คีริสเซนต์ และ ไม่มีขอบเขตเชิงรัศมี อนุพันธ์เทียบกับเวลาตลอดผลเฉลยของ (x.3.3) คือ

$$\dot{V} = 2c(x_1^2 + x_2^2) \quad (\text{x.3.4})$$

ถ้า $c = 0$ และ $\dot{V} = 0$ ดังนั้น $x_e = 0$ เป็น u.s. ถ้า $c < 0$ และ \dot{V} เป็นลบแน่นอน ดังนั้น $x_e = 0$ เป็น u.a.s. ในวงกว้าง ถ้า $c > 0$, $x_e = 0$ จะไม่เสถียรดังนั้นผลเฉลยของ (x.3.3) ไม่มีขอบเขต

ตัวอย่างที่ ข.3.2 พิจารณาระบบต่อไปนี้ซึ่งอธิบายการเคลื่อนที่ของเพนคูลัมธรรมด้า (Simple pendulum)

$$\begin{aligned}\dot{x}_1 &= x_2 \\ \dot{x}_2 &= -k \sin x_1\end{aligned}\quad (\text{ข.3.5})$$

โดยที่ $k > 0$ เป็นค่าคงที่ x_1 เป็นมุม และ x_2 แทนความเร่งเชิงมุม เราพิจารณาตัวเลือกฟังก์ชันเลียบูนอฟ $V(x)$ จากผลรวมของพลังงานจลน์ (Kinetic energy) และ พลังงานศักย์ (Potential energy) นั้นคือ

$$(x) = \frac{1}{2} x_2^2 + k \int_0^{x_1} \sin \eta \, d\eta = \frac{1}{2} x_2^2 + k(1 - \cos x_1)$$

$V(x)$ เป็นบวกແນ່ນອນและดีครีสเซนต์ $\forall x \in \beta(\pi)$ ไม่ใช่ไม่มีขอบเขตเชิงรัศมี ตลอดผลเฉลยของ (ข.3.5) จะได้ว่า $\dot{V} = 0$ ดังนั้นสถานะสมดุล $x_e = 0$ เป็น n.s. ∇

ตัวอย่างที่ ข.3.3 พิจารณาระบบ

$$\begin{aligned}\dot{x}_1 &= x_2 \\ \dot{x}_2 &= -x_2 - e^{-t} x_1\end{aligned}\quad (\text{ข.3.6})$$

เลือกฟังก์ชันซึ่งเป็นบวกແນ່ນອນ ดีครีสเซนต์ และไม่มีขอบเขตเชิงรัศมี ต่อไปนี้ $V(x) = x_1^2 + x_2^2$ เป็นฟังก์ชันเลียบูนอฟจะได้ว่า $\dot{V} = -2x_2^2 + 2x_1x_2(1 - e^{-t})$ โดยใช้ทฤษฎีเลียบูนอฟที่กล่าวมาแล้วไม่สามารถถอดอกະໄรได้ ดังนั้นเราจะเลือกฟังก์ชัน V ใหม่ดังนี้

$$V(t, x) = x_1^2 + e^t x_2^2$$

ในกรณีจะได้ว่า

$$\dot{V}(t, x) = -e^t x_2^2$$

ฟังก์ชัน V นี้เป็นบวกແນ່ນອน และ \dot{V} เป็นลบกິ່ງແນ່ນອน ดังนั้นมื່อใช้ทฤษฎีที่ ข.3.1 เราสามารถสรุปได้ว่าสถานะสมดุล $x_e = 0$ เสถียร อย่างไรก็ตามเพราะว่า V ไม่เป็นดีครีสเซนต์เราจึงไม่สามารถสรุปได้ว่าสถานะสมดุล $x_e = 0$ เป็น n.s. ∇

ตัวอย่างที่ ข.3.4 พิจารณาระบบสมการอนุพันธ์ต่อไปนี้ซึ่งนักจะพูนในการวิเคราะห์ระบบปรับตัวเอง

$$\begin{aligned}\dot{x} &= -x + \phi x \\ \dot{\phi} &= -x^2\end{aligned}\quad (\text{ข.3.7})$$

สถานะสมดุล $x_e = 0$, $\phi_e = c$ โดยที่ c เป็นค่าคงที่ใดๆ ดังนั้นสถานะสมดุลไม่เป็นเอกเทศ

นิยามให้ $\tilde{\phi} = \phi - c$ ดังนั้น (ข.3.7) กลายเป็น

$$\begin{aligned}\dot{x} &= -(1 - c)x + \tilde{\phi}x \\ \dot{\tilde{\phi}} &= -x^2\end{aligned}\quad (\text{ข.3.8})$$

เราสนใจเสถียรภาพของสถานะสมดุล $x_e = 0$, $\phi_e = c$ ของ (ข.3.7) ซึ่งเทียบเท่ากับเสถียรภาพของจุด $x_e = 0$, $\tilde{\phi}_e = 0$ ของ (ข.3.8) เราเลือกฟังก์ชันบวกແນ່ນອน ดีครีสเซนต์ และ ไม่มีขอบเขตเชิงรัศมี

$$V(x, \tilde{\phi}) = \frac{x^2}{2} + \frac{\tilde{\phi}^2}{2}\quad (\text{ข.3.9})$$

ดังนั้น $\dot{V}(x, \tilde{\phi}) = -(1 - c)x^2$

ถ้า $c > 1$ แล้ว $\dot{V} > 0$ สำหรับ $x \neq 0$ ดังนั้น จุด $x_e = 0$, $\tilde{\phi}_e = 0$ ไม่เสถียร อย่างไรก็ตามถ้า $c \leq 1$ แล้วจุด $x_e = 0$, $\tilde{\phi}_e = 0$ เป็น u.s. สำหรับ $c < 1$ จะได้ว่า

$$\dot{V}(x, \tilde{\phi}) = -c_0 x^2 \leq 0 \quad \text{โดย } c_0 = 1 - c > 0 \quad (\text{ข.3.10})$$

จากทฤษฎีที่ ข.3.3 บอกได้ว่า x_e , $\tilde{\phi}_e$ เป็น u.b. เราสามารถวิเคราะห์ต่อไปได้อีกโดยใช้คุณสมบัติของ V และ \dot{V} ดังต่อไปนี้ จะเห็นได้ว่า $V(t) = V(x(t), \tilde{\phi}(t))$ มีขอบเขตแน่นอน $\lim_{t \rightarrow \infty} V(t) = V_\infty$ จาก

(ข.3.10) จะได้

$$\lim_{t \rightarrow \infty} \int_0^t x^2 d\tau = \int_0^\infty x^2 d\tau = \frac{V(0) - V_\infty}{c_0} < \infty$$

ดังนั้นเราสรุปได้ว่า $x \in L_2$ เพราะว่า $x_e(t)$, $\tilde{\phi}_e(t)$ เป็น u.b. และจาก (ข.3.8) จะได้ว่า $\dot{x} \in L_\infty$ เมื่อรวมกับ $x \in L_2$ จึงสรุปได้ (จากบทที่ ข.1.5) ว่า $x(t) \rightarrow 0$ ขณะที่ $t \rightarrow \infty$ ∇

ตัวอย่างที่ ข.3.5 พิจารณาระบบสมการอนุพันธ์

$$\dot{x}_1 = -2x_1 + x_1 x_2 + x_2$$

$$\dot{x}_2 = -x_1^2 - x_1$$

พิจารณา $V(x) = x_1^2 + x_2^2$ เราจะได้ว่า $\dot{V} = -2x_1^2 \leq 0$ และจุดสมดุล $x_{1e} = 0$, $x_{2e} = 0$ เป็น u.s. เชตที่นิยามในทฤษฎีที่ ข.3.4 สำหรับตัวอย่างนี้คือ $\Omega = \{x_1, x_2 \mid x_1 = 0\}$ เพราะว่า $\dot{x}_1 = x_2$ บน Ω ผลเฉลยคงที่เริ่มจาก Ω ที่ $x_2 \neq 0$ จะออกจาก Ω ดังนั้น $x_{1e} = 0$, $x_{2e} = 0$ จึงเป็นสับเชตไม่เปลี่ยน (invariant subset) คือของ Ω เพราะฉะนั้นจุดสมดุล $x_{1e} = 0$, $x_{2e} = 0$ เป็น a.s. ในวงศ์ว้าง ∇

ในตัวอย่างก่อนหน้านี้เรามনุทิว่าผลเฉลยของสมการอนุพันธ์ทั่วๆไป (ข.2.1) นั้นมีหนึ่งเดียวในตัวอย่างต่อไปนี้ซึ่งจะแสดงว่าถ้าเรามองข้ามสมบัติการมีอยู่ของผลเฉลย ความผิดพลาดเกี่ยวกับเสถียรภาพอาจเกิดขึ้นได้เมื่อใช้ทฤษฎีเล็บปูนอฟ

ตัวอย่างที่ ข.3.6 พิจารณาระบบสมการอนุพันธ์ขั้นดับสอง

$$\dot{x}_1 = -2x_1 - x_2 \operatorname{sgn}(x_1), \quad x_1(0) = 1$$

$$\dot{x}_2 = |x_1|, \quad x_2(0) = 0$$

$$\operatorname{sgn}(x_1) = \begin{cases} 1 & \text{ถ้า } x_1 \geq 0 \\ -1 & \text{ถ้า } x_1 < 0 \end{cases}$$

เลือกฟังก์ชัน

$$V(x_1, x_2) = x_1^2 + x_2^2$$

มีอนุพันธ์เทียบกับเวลาตลอดผลเฉลยของสมการอนุพันธ์ดังนี้

$$\dot{V}(x_1, x_2) = -4x_1^2 \leq 0$$

จากทฤษฎีที่ ข.3.1 นอกได้ว่า $x_1, x_2 \in L_\infty$ และจุดสมดุล $x_{1e} = 0, x_{2e} = 0$ เป็น u.s. ขึ้นกว่านั้นเราสามารถแสดงได้ว่า $x_1(t) \rightarrow 0$ ขณะที่ $t \rightarrow \infty$

ผลสรุปข้างบนนี้จะเป็นจริงได้ก็ต่อเมื่อฟังก์ชันผลเฉลยต่อเนื่อง $x_1(t), x_2(t)$ ของสมการอนุพันธ์ที่มี $x_1(0) = 1, x_2(0) = 0$ ตรงตามสมการอนุพันธ์นี้สำหรับทุกๆ $t \in [0, \infty)$ มีอยู่ อย่างไรก็ตามผลเฉลยของสมการอนุพันธ์ข้างบนมีเฉพาะในช่วง $t \in [0, 1]$ โดย $x_1(t) = (1-t)e^{-t}, x_2(t) = t e^{-t}$ ความยุ่งยากนั้นเกิดขึ้นเมื่อ $t \geq 1$ จากความจริงที่ว่าในบริเวณเล็กๆ รอบจุด $(x_1(1), x_2(1)) = (0, e^{-1})$ $\dot{x}_1 = -2x_1 - x_2 \operatorname{sgn}(x_1) < 0$ ถ้า $x_1 > 0$ และ $\dot{x}_1 > 0$ ถ้า $x_1 < 0$ ด้วยเหตุนี้ \dot{x}_1 จะเปลี่ยนเครื่องหมายไปมารอบๆ $(0, e^{-1})$ ซึ่งหมายความว่าไม่มีฟังก์ชันต่อเนื่อง $x_1(t), x_2(t)$ ได้ที่เป็นไปตามสมการอนุพันธ์เมื่อผ่านจุด $t = 1$ ▽

อุปสรรคสำคัญสำหรับวิธีตรของเลียปูนอฟ คือ โดยทั่วไปแล้วไม่มีขั้นตอนที่แน่นอนในการหาฟังก์ชันเลียปูนอฟยกเว้นในกรณีที่สมการ (ข.2.1) เป็นระบบเชิงเส้นไม่แปรตามเวลา

ข.4 ฟังก์ชันคล้ายเลียปูนอฟ (Lyapunov-Like Functions)

ฟังก์ชันเลียปูนอฟที่เหมาะสมจะสามารถบอกร่องสีของภาพของระบบได้จากทฤษฎีที่ ข.3.1 ถึง ข.3.4 แต่ในบางกรณีไม่สามารถหาฟังก์ชันเลียปูนอฟที่เหมาะสมได้นั่นคือ ไม่สามารถบอกร่องสีของระบบได้จากฟังก์ชันนั้น อย่างไรก็ตามฟังก์ชันที่มีลักษณะคล้ายคลึงกับฟังก์ชันเลียปูนอฟซึ่งมีคุณสมบัติไม่พอที่จะใช้กับทฤษฎีที่ ข.3.1 ถึง ข.3.4 อาจใช้บอกร่องสีของภาพของระบบได้ เราเรียกฟังก์ชันนี้ว่า ฟังก์ชันคล้ายเลียปูนอฟ (Lyapunov-like functions) ตัวอย่างต่อไปนี้แสดงถึงการใช้ฟังก์ชันคล้ายเลียปูนอฟ

ตัวอย่างที่ ข.4.1 พิจารณาระบบสมการอนุพันธ์สามตัวแปร

$$\begin{aligned}\dot{x}_1 &= -x_1 - x_2 x_3, & x_1(0) &= x_{10} \\ \dot{x}_2 &= x_1 x_3, & x_2(0) &= x_{20} \\ \dot{x}_3 &= x_1^2, & x_3(0) &= x_{30}\end{aligned}\quad (\text{ข.4.1})$$

ซึ่งมีจุดสมดุลไม่เอกเทศใน \mathbb{R}^3 คือ $x_1 = 0, x_2 = \text{ค่าคงที่}, x_3 = 0$ หรือ $x_1 = 0, x_2 = 0, x_3 = \text{ค่าคงที่}$ ปกติแล้วการวิเคราะห์สีของภาพของระบบ (ข.4.1) โดยใช้ฟังก์ชันเลียปูนอฟที่เหมาะสม $V(x_1, x_2, x_3)$ ซึ่งเป็นวงแหวนใน \mathbb{R}^3 และทฤษฎีที่ ข.3.1 ถึง ข.3.4 แทนที่จะทำเช่นนั้นเราลองพิจารณาฟังก์ชันต่อไปนี้

$$V(x_1, x_2) = \frac{x_1^2}{2} + \frac{x_2^2}{2}$$

ซึ่งเป็นบวกก็แน่นอนใน \mathbb{R}^3 ดังนั้นจึงใช้ทฤษฎีที่ ข.3.1 ถึง ข.3.4 ไม่ได้ อนุพันธ์เทียบกับเวลาตลอดผลเฉลยของสมการอนุพันธ์ (ข.4.1) คือ

$$\dot{V} = -x_1^2 \leq 0 \quad (\text{ข.4.2})$$

ดังนั้น $V, x_1, x_2 \in L_\infty$ จาก (ข.4.2) สามารถแสดงได้ว่า $x_1 \in L_2$ จาก (ข.4.1) $x_3 \in L_\infty$ และจาก $x_1, x_2, x_3 \in L_\infty$ เพราะจะนั่น $\dot{x}_1 \in L_\infty$ โดยใช้ $\dot{x}_1 \in L_\infty, x_1 \in L_2$ และใช้บทตั้ง ข.1.5 เราจะได้ว่า $x_1(t) \rightarrow 0$ ขณะที่ $t \rightarrow \infty$ เราเรียก $V(x_1, x_2)$ ว่าฟังก์ชันคล้ายเสียงอนพอง ในการวิเคราะห์ข้างบนยังคงได้มาจากการสมมุติว่าสมการ (ข.4.1) มีผลเฉลยเพียงหนึ่งเดียว ∇

ข.5 เสถียรภาพของระบบเชิงเส้น

ระบบไม่เชิงเส้นแบบต่อเนื่องโดยมากสามารถประมาณได้ด้วยระบบเชิงเส้นที่ใกล้ๆ กับจุดสมดุล หรือ นักจะเรียกว่า จุดทำงาน (Operating point) ด้วยเหตุนี้จึงมีความสนใจที่จะศึกษาถึงเสถียรภาพของระบบเชิงเส้นที่อยู่ในรูป

$$\dot{x}(t) = A(t)x(t)$$

โดยที่สมาชิกของ $A(t)$ ต่อเนื่องเป็นช่วง สำหรับทุกๆ t แต่ในที่นี่สนใจเฉพาะกรณีที่ $A(t) = A$ ซึ่งเป็นเมทริกซ์คงที่ ดังนั้นเสถียรภาพของจุดสมดุล $x_e = 0$ ของระบบ

$$\dot{x} = Ax \quad (\text{ข.5.1})$$

พิจารณาได้จากทฤษฎีต่อไปนี้

ทฤษฎีที่ ข.5.1 สถานะสมดุล $x_e = 0$ ของระบบ (ข.5.1) จะเสถียร ถ้าและเพียงแต่ถ้า

1. ค่าเจาะจงทั้งหมดของ A มีส่วนจริง (Real parts) ไม่เป็นบวก (Nonpositive)
2. สำหรับแต่ละค่าเจาะจง λ_i ที่มี $\operatorname{Re}\{\lambda_i\} = 0$ โดย λ_i เป็นศูนย์ธรรมชาติ (Simple zero) ของพหุนามต่ำสุด (Minimal polynomial) ของ A

ทฤษฎีที่ ข.5.2 เนื่องไข่เป็นและเพียงพอสำหรับ $x_e = 0$ ที่จะเป็น a.s. ในวงกว้างก็ต่อเมื่อเงื่อนไขข้อใดข้อหนึ่งต่อไปนี้เป็นจริง

1. ทุกๆ ค่าเจาะจงของ A มีส่วนจริงเป็นลบ
2. สำหรับทุกๆ $Q > 0$ แล้วสมการ $A^T P + PA = -Q$ มีผลเฉลย $P > 0$ เพียงค่าเดียว
3. สำหรับเมทริกซ์ C ใดๆ เชิง (C, A) สังเกตได้ (Observable) แล้วสมการ $A^T P + PA = -C^T C$ มีผลเฉลย $P > 0$ เพียงค่าเดียว

สำหรับระบบเชิงเส้นไม่แปรตามเวลาใน (ข.5.1) จะสามารถสรุปได้ว่า ถ้า $x_e = 0$ เสถียร มันก็จะเป็น a.s. ด้วย ถ้า $x_e = 0$ เป็น a.s. มันจะเป็น u.a.s. และ e.s. ในวงกว้างด้วย

บางกรณีจะเรียก A ใน (x.5.1) ว่าสตีบิร เมื่อจุดสมดุล $x_c = 0$ เป็น a.s. นั่นคือเป็นไปตามทฤษฎีที่ x.5.2 และจะเรียกว่าสตีบิรแบบเชิงขอบ (marginally) เมื่อจุดสมดุล $x_c = 0$ สตีบิร นั่นคือเป็นไปตามเงื่อนไข (1.) และ (2.) ในทฤษฎีที่ x.5.1

เราลองกลับไปพิจารณาที่แต่ละค่าคงที่ t และสมมุติว่าค่า Langevin ของทริกซ์ $A(t)$ ของระบบแปรตามเวลาระบบหนึ่งมีส่วนจริงเป็นลบ และถ้ามีว่าในกรณีนี้สามารถอภิสิทธิ์สตีบิรภาพของจุดสมดุล $x_c = 0$ ของระบบันได้หรือไม่ คำตอบก็คือไม่ได้สำหรับกรณีทั่วๆไปซึ่งได้แสดงไว้ใน [14]

ศูนย์วิทยทรัพยากร
จุฬาลงกรณ์มหาวิทยาลัย

ประวัติผู้รับจัย

นาย ธนา เดิมกลินจันทน์ เกิดวันที่ 31 กรกฎาคม พ.ศ. 2515 ที่ จังหวัดอุบลราชธานี เป็นบุตรของ น.พ. ณอน และนางละม้าย เดิมกลินจันทน์ สำเร็จการศึกษาปริญญาวิศวกรรมศาสตรบัณฑิตสาขาวิศวกรรมไฟฟ้า ภาควิชาวิศวกรรมไฟฟ้า คณะวิศวกรรมศาสตร์ มหาวิทยาลัยเกษตรศาสตร์ ในปี พ.ศ. 2537 และได้เข้าทำงานในตำแหน่งวิศวกรไฟฟ้า บริษัทสยามอ่องซิเดนทอลอิเลคโทรเคมิคอล จำกัด เข้าศึกษาต่อในหลักสูตรวิศวกรรมศาสตรมหาบัณฑิต ภาควิชาวิศวกรรมไฟฟ้า สาขาระบบควบคุม ที่จุฬาลงกรณ์มหาวิทยาลัย เมื่อปี พ.ศ. 2538 และในระหว่างปี พ.ศ. 2538 ได้รับหน้าที่เป็นผู้ช่วยสอนของห้องปฏิบัติการวิจัยระบบควบคุม ภาควิชาวิศวกรรมไฟฟ้า



ศูนย์วิทยทรัพยากร
จุฬาลงกรณ์มหาวิทยาลัย